

Programmanalyse und Compileroptimierung

WS 2004/2005

Prof. Dr. INDERMARK

Mitgeschrieben von TIMO BOETCHER

Dieses Skript ist meine Mitschrift der Vorlesung Programmanalyse und Compileroptimierung im WS 2004/2005 an der RWTH Aachen (Dozent: Prof. Dr. K. Indermark). Es handelt sich nicht um eine offizielle Veröffentlichung des "Lehrstuhls Informatik II".

Ich übernehme keine Gewähr für die Fehlerfreiheit und Vollständigkeit des Skripts. Korrekturen und Ergänzungen bitte ich an timo_boettcher@post.rwth-aachen.de zu mailen.

Timo Boettcher, 2. Februar 2005

Inhaltsverzeichnis

1	Einleitung	5
2	Analyse und Optimierung von Straight-Line Code	7
2.1	AE-Analyse und CS-Elimination	9
2.2	LV-Analyse und DC-Elimination	11
2.3	RD-Analyse und Konstantenfaltung	12
2.4	DAG-Darstellung von SLC-Programmen	13
2.5	Weitere Optimierung von SLC-Programmen	17
4	4 Datenflussanalyse und Optimierung iterativer Programme	25
4.1	Syntax von IC	25
4.2	Semantik von IC	26
4.3	Flussgraphen von IC-Programmen	31
4.4	Datenflussanalyse-Systeme	32
4.5	AE-Analyse und CS-Elimination für IC-Programme	36
4.6	RD-Analyse und Konstantenfaltung	39
4.7	Effiziente Fp-Berechnung	43
4.8	Live Variable Analyse und Dead Code Elimination für IC-Programm	45
5	Kontrollflussanalyse und Schleifenoptimierung	49
5.1	Schleifenanalyse von Flussgraphen	49
5.2	ud- und du-chains	52
5.3	Schleifeninvariante Berechnungen und Code Motion	53
5.4	Induktionsvariablen	54
6	Interprozedurale Analyse	57
6.1	Syntax von ICP (<u>I</u> ntermediate <u>C</u> ode with <u>P</u> rocedures	57
6.2	Semantik in ICP	57
6.3	MOP-Analyse für ICP-Programme	58
6.4	MFP-Analyse für ICP-Programme	59
7	Analyse dynamischer Datenstrukturen	61
7.1	Erweiterung der Sprache IC	61
7.2	Shape-Graphen	62
7.3	Die Analyse	63

Kapitel 1

Einleitung

[13.10.2004]

Ziel der Programmanalyse: Berechnung von Laufzeiteigenschaften zur Übersetzungszeit, abhängig von der Programmsemantik, Beispiel: Terminierung, i.a. nicht entscheidbare Eigenschaften.

→ Programmanalyse berechnet Approximationen dieser Eigenschaften

Mittel: Abstrakte Interpretation Anwendungen der Programmanalyse:

- Compileroptimierung durch Programmtransformation
- Konstruktion von Software-Tools für Verifikation, Testen, Debugging

hier: Compileroptimierung

Verbesserung von Programmen mit Hilfe von Programmeigenschaften

Verschiedene Kostenmasse:

- Laufzeit
- Speicherbedarf der Laufzeitdaten (Grösse von Stack und Heap)
- Speicherbedarf des Codes (Programmgrösse)
Kompakter Code wichtig bei Palmtops, Mobiltelefonen, Software für eingebettete Systeme

Programmiersprachen:

- imperative:
 - OO (Java: Klassenoptimierung)
 - FP (Striktheitsanalyse)
 - LP

Möglichkeiten für Programmanalyse und Compileroptimierung:

1. Attributierte Abstrakter Syntaxbaum (Quellprogramm)
erfordert Programmanalyse für strukturierte Programme

[Folie: Struktur eines Compilers]

2. Zwischencode
elementare Ausdrücke, 3-Adresscode
keine Kontrollstrukturen bis auf Sprungbefehle
keine Datenstrukturen, Adressberechnung
3. Maschinencode
Registerzuteilung, Codeselection, Instruktionsanordnung

Inhalt PACO für Zwischencode

1. Straight-line Code (ohne: Verzweigung, Iteration, Rekursion, Datenstrukturen) Wichtige Teilklasse. Schleifenrumpfe
90/10 Regel: Ein Programm benutzt 90% der Ausführungszeit für 10% seines Codes
→ lokale Analyse
2. Iterative Programme
 - (a) Basisblock-Darstellung und Flussgraphen
→ globale Analyse, intra-prozedurale Analyse
Technik: Datenflussanalyse in Abstrakter Interpretation
 - (b) Kontrollflussanalyse und Schleifenoptimierung
3. Rekursive Programme
→ interprozedurale Analyse
4. Programme mit Datenstrukturen
statische und dynamische Datenstrukturen, Shape Analyse

Optimierungen: dead code elimination, common subexpression elimination, constant propagation/constant folding, reduction in strength, code motion

Analysen: live variables, available expression, pointer, shape, alias

Kapitel 2

Analyse und Optimierung von Straight-Line Code

Programme ohne Verzweigung, Iteration, rekursion, Datenstrukturen, Ausdrücke entschachtelt

Bedeutung: wiederholte Ausführung in Schleifen

Ziel: Codeoptimierung (Laufzeit)

Themen:

- Live Variable (LV) Analyse - Dead Code (DC) Elimination
- Available Expression (AE) Analyse - Common Subexpression (CS) Elimination
- Reaching Definition (RD) Analyse - Konstantenpropagation/-faltung

Definition 2.0.1: Syntax von SLC-Programmen

$V = \{x, y, z, \dots\}$ Variablen

$C = \{a, b, c, \dots\}$ Konstantensymbole

$\Sigma = \bigcup_{r=1}^{\infty} \Sigma^{(r)}$ mit $|\Sigma| < \infty$ Operationssymbole

$\alpha \in \underline{Anw}$ (α ist eine Anweisung): \curvearrowright

$\alpha = x \leftarrow e$ und

$e \in \{f(u_1, \dots, u_r) \mid f \in \Sigma^{(r)}, u_i \in V \cup C\}$

$V_\alpha := \{x\} \cup V_e$ (Variablen von α bzw. von e)

x wird in α definiert, $v \in V_e$ wird in α benutzt.

$\beta \in \underline{Blo}$ (β ist ein Block) : \curvearrowright

$\beta = \alpha_1; \alpha_2; \dots; \alpha_n, \quad \alpha_i \in \underline{Anw}, n \geq 0$

$V_\beta := \bigcup_{i=1}^n V_{\alpha_i}$ (Variablen von β)

Folgerung 2.0.1:

$\pi \in \underline{SLC}$ (π ist ein SLC-Programm):

$\curvearrowright \pi = (IV, \beta, OV), \beta \in \underline{Blo}$

[Folie:
Beispielprogramm]
[15.10.2004]

SLC-

$IV \subseteq V$, endlich (Eingabevariablen, var β definiert)
 $OV \subseteq V$, endlich, nicht leer (Ausgabevariablen, nach β benutzt)

$$V_\pi := \bigcup_{i=1}^n V_{\alpha_i} \cup IV \cup OV$$

Definition 2.0.2: Variablenbedingung

π erfüllt die Variablenbedingung

(π vollständig wohldefiniert) $:\curvearrowright$ Jede Programmvariable $v \in V_\pi$ wird vor ihrer Benutzung definiert

Generelle Voraussetzung: SLC-Programme sollen die Variablenbedingung erfüllen

SLC-Programme (Semantik)

Sei $\pi = (IV, \beta, OV) \in SLC$.

Sei $\mathbf{a} = \langle A; \varphi \rangle$ eine (Σ, C) -Algebra, d.h.,

A Menge, $f \in \Sigma^{(r)} \curvearrowright \varphi(f) = f_{\mathbf{a}} : A^r \rightarrow A$

$c \in C \curvearrowright \varphi(c) = c_{\mathbf{a}} \in A$

Zustandsraum $Z := \{\sigma \mid \sigma : V_\pi \rightarrow a\}$

$\alpha \in Anw \mapsto \llbracket \alpha \rrbracket_{\mathbf{a}} : Z \rightarrow Z$ Zustandstransformation

$\alpha = x \leftarrow e$

$\llbracket x \leftarrow e \rrbracket_{\mathbf{a}}(\sigma) = \sigma'$ mit $\sigma'(x) = \llbracket e \rrbracket_{\mathbf{a}}(\sigma) \in A$

(Wert von e im Zustand σ , "Einsetzen und Ausrechnen") und $\sigma'(y) = \sigma(y)$ für $y \neq x$

$\beta = \alpha_1; \dots; \alpha_n \mapsto \llbracket \beta \rrbracket_{\mathbf{a}} := \llbracket \alpha_n \rrbracket_{\mathbf{a}} \circ \llbracket \alpha_{n-1} \rrbracket_{\mathbf{a}} \circ \dots \circ \llbracket \alpha_1 \rrbracket_{\mathbf{a}}$

$\beta = \Sigma \mapsto \llbracket \beta \rrbracket_{\mathbf{a}} := id_Z$

IV und OV bestimmen entsprechende Teile des Zustandsraumes Z .

$Z_{in} = \{\sigma_{in} \mid \sigma_{in} : IV \rightarrow A\}$ Eingabezustände

$Z_{out} = \{\sigma_{out} \mid \sigma_{out} : OV \rightarrow A\}$ Ausgabezustände

damit ergibt sich die Programmsemantik

$\llbracket \pi \rrbracket_{\mathbf{a}} : Z_{in} \rightarrow Z_{out}$

$\llbracket \pi \rrbracket_{\mathbf{a}}(\sigma_{in}) = \sigma_{out}$

$\sigma_{in} \mapsto \sigma_0(x) := \sigma_{in}(x)$ für $x \in IV$

$\sigma_0(y) = a \in A$ (beliebig) für $y \in IV$

$\sigma_{out}(z) = \llbracket \beta \rrbracket_{\mathbf{a}}(\sigma_0)(z)$ für $z \in OV$

Beachte: π erfüllt die Variablenbedingung $\curvearrowright \llbracket \pi_{\mathbf{a}} \rrbracket$ unabhängig von Anfangswerten für $y \in V_\pi \setminus IV$

Definition 2.0.3: Programmäquivalenz

$\pi_1, \pi_2 \in SLC$. \mathbf{a} (Σ, C) -Algebra

- π_1 und π_2 \mathbf{a} -äquivalent ($\pi_1 \sim_{\mathbf{a}} \pi_2$) $:\curvearrowright \llbracket \pi_1 \rrbracket_{\mathbf{a}} = \llbracket \pi_2 \rrbracket_{\mathbf{a}}$
- π_1 und π_2 stark-äquivalent ($\pi_1 \approx \pi_2$) $:\curvearrowright \llbracket \pi_1 \rrbracket_{\mathbf{a}} = \llbracket \pi_2 \rrbracket_{\mathbf{a}}$ für jede (Σ, C) -Algebra \mathbf{a}

Optimierung von SLC-Programmen

Sei $c : SLC \rightarrow \mathbb{N}$ eine Kostenfunktion, z.B. Zahl der Anweisungen, Zahl der Operationen, Summe der Operations-Gewichte

Für $\pi_1, \pi_2 \in SLC$ mit $\pi_1 \sim_a \pi_2$ (bzw. $\pi_1 \approx \pi_2$) ist $\pi_1 \leq_c \pi_2$ (c-besser): $\curvearrowright \curvearrowright c(\pi_1) \leq c(\pi_2)$

Definition 2.0.4: c-optimal

π_1 c-optimal (bzgl. a): $\curvearrowright \curvearrowright \pi_1 \leq_c \pi$ für alle $\pi \in SLC$ mit $\pi_1 \approx \pi$ (bzw. $\pi_1 \sim_a \pi$)

Ziel: Programmtransformationen zur SLC-Optimierung

[Folie: Beispiel: Common Subexpression Elimination]

2.1 AE-Analyse und CS-Elimination

Beispiel 2.1.1: Folie 2.2

$\pi \approx \pi'$ und $c(\pi') < c(\pi)$ bzgl. Op-Anzahl aber $c(\pi') > c(\pi)$ bzgl. Codelänge

AE-Analyse Bestimmung der für jede Anweisung verfügbaren Ausdrücke (AE = available expression)

Sei $\pi = (IV, \beta, OV) \in SLC$ mit $\beta = \alpha_1; \dots; \alpha_n$

OpExp _{β} := $\{e | x \leftarrow e = \alpha_i, e = f(u_1, \dots, u_r)\} = \{e_1, \dots, e_t\}$ Operationsausdrücke von β

Verfügbarkeit durch Bit-vektoren beschreiben:

$\mathbb{B}^t := \{(b_1, \dots, b_t) | b_i \in \{0, 1\}\}$

Bedeutung: $b_i = 0$ heisst "e_i ist verfügbar"

$b_i = 1$ heisst "e_i ist nicht verfügbar"

$AE_i \in \mathbb{B}^t$: die für Ausführung von α_i verfügbaren Ausdrücke ($i = 1, \dots, n$)

$AE_1 = (1, \dots, 1)$

$\alpha \in Anw \mapsto t_\alpha : \mathbb{B}^t \rightarrow \mathbb{B}^t$ (information transformer)

t_α beschreibt die Veränderung der Verfügbarkeit von Ausdrücken durch Ausführung von α

$t_{x \leftarrow e} := kill_x \circ gen_e; gen_e, kill_x : \mathbb{B}^t \rightarrow \mathbb{B}^t$

$gen_e(b_1, \dots, b_t) = (b'_1, \dots, b'_t)$

$$b'_i = \begin{cases} 0, & \text{falls } e = e_i \\ b_i, & \text{sonst} \end{cases}$$

$kill_x(b_1, \dots, b_t) = (b'_1, \dots, b'_t)$

$$b'_i = \begin{cases} 1, & \text{falls } x \in V_{e_i} \\ b_i, & \text{sonst} \end{cases}$$

$AE_{i+1} = t_{\alpha_i}(AE_i)$ für $i = 1, \dots, n-1$

Ergebnis: Analyseinformationen AE_1, \dots, AE_n

[20.10.2004]

Beobachtung: $A_i = x \leftarrow x$

keine Veränderung von x , aber Verfügbarkeit von Ausdrücken wird i. a. reduziert.

Beispiel 2.1.2: Folie 2.2 Common Subexpression Elimination

$$\underline{OpExp}_\beta = \{oe_1 = x + y, oe_2 = z * y, oe_3 = v - z, oe_4 = w + v\}$$

$$AE_1 = (1, 1, 1, 1)$$

$$AE_2 = (0, 1, 1, 1)$$

$$AE_3 = (0, 1, 1, 1)$$

$$AE_4 = (1, 1, 1, 1)$$

$$AE_5 = (0, 1, 1, 1)$$

$$AE_6 = (0, 1, 0, 1)$$

CS-Elimination

Ziel: Vermeidung der wiederholten Berechnung eines Ausdrucks mit denselben Variablenwerten, weniger durchgeführte Rechenoperationen.

Idee: Ausdruckswerte auf temporären Variablen zwischenspeichern, statt wiederholter Berechnung temporäre Variable verwenden.

$$T_{CS} : SLC \rightarrow SLC$$

$$T_{CS}(IV, \beta, OV) := (IV, T_{CS}(\beta), OV)$$

$$T_{CS}(\alpha_1; \dots; \alpha_n) := T_{CS}(\alpha_1); \dots; T_{CS}(\alpha_n)$$

3 Fälle für $T_{CS}(\alpha_1)$

1. $\alpha_i = x \leftarrow e, e \notin \underline{OpExp}_\beta \curvearrowright T_{CS}(\alpha_i) := \alpha_i$
2. $\alpha_i = x \leftarrow oe_j, AE_i^{(j)} = 1 \curvearrowright T_{CS}(\alpha_i) := tv_j \leftarrow oe_j; x \leftarrow tv_j$
3. $\alpha_i = x \leftarrow oe_j, AE_i^{(j)} = 0 \curvearrowright T_{CS}(\alpha_i) := x \leftarrow tv_j$

mit temporären Variablen tv_1, \dots, tv_t für die Op-Ausdrücke oe_1, \dots, oe_t

Beispiel 2.1.3:

Fall (1) tritt nicht auf. Die “relevanten“ Verfügbarkeitsbits sind:

$$AE_1^{(1)} = 1$$

$$AE_2^{(2)} = 1$$

$$AE_3^{(1)} = 0$$

$$AE_4^{(1)} = 1$$

$$AE_5^{(3)} = 1$$

$$AE_6^{(4)} = 1$$

$$\begin{aligned}
T_{CS}(\beta) = & \quad tv_1 \leftarrow x + y; \\
& \quad z \leftarrow tv_1; \\
& \quad tv_2 \leftarrow z * y; \\
& \quad z \leftarrow tv_2; \\
& \\
& \quad x \leftarrow tv_1; \\
& \quad tv_1 \leftarrow x + y; \\
& \quad v \leftarrow tv_1; \\
& \quad tv_3 \leftarrow v - z; \\
& \quad w \leftarrow tv_3; \\
& \quad tv_4 \leftarrow w + v; \\
& \quad w \leftarrow tv_4;
\end{aligned}$$

Korrektheit $\pi \approx T_{TC}(\pi)$

unabhängig von Interpretation

Klar für die Fälle 1 und 2

Fall 3: Der verfügbare Wert von oe_j liegt als Wert von tv_j vor.

Optimierung: $Op - Anzahl(T_{CS}(\pi)) \leq Op - Anzahl(\pi)$

aber: $Codelänge(T_{CS}(\pi)) > Codelänge(\pi)$

2.2 LV-Analyse und DC-Elimination

LV-Analyse $\pi = (IV, \beta, OV) \in SLC$

Var. Bedingung: $v \in V_\pi$ wird vor ihrer Benutzung definiert.

Möglich: $v \in V_\pi$ wird nach ihrer Definition nicht benutzt.

Definition 2.2.1: lebendig

$v \in V_\pi$ heisst lebendig in i ($v \in LV_i$) für $i = 1, \dots, n$ falls v in $\alpha_{i+1}, \alpha_{i+2}, \dots, \alpha_n$ oder OV benutzt wird, ohne vor dieser Benutzung neu definiert zu werden.

Bestimmung der LV_i durch Rückwärtsanalyse:

$$LV_n = OV$$

$\alpha \in Anw \mapsto t_\alpha : P(V_\pi) \rightarrow P(V_\pi)$ "Rückwärtstransformation"

$$\alpha = x \leftarrow e; t_\alpha := gen_e \circ kill_x$$

$$kill_x(M) := M / \{x\}$$

$$gen_e(M) := M \cup V_e$$

$$LV_{i-1} := t_{\alpha_i}(LV_i) \quad i = 1, \dots, n$$

Beispiel 2.2.2:

$$LV_4 = \{u, v\}$$

$$LV_3 = \{u, x, y\}$$

$$LV_2 = \{x, y\}$$

$$LV_1 = \{x, y, u, z\}$$

$$LV_0 = \{x, y, z\}$$

DC-Elimination $T_{DC} : SLC \rightarrow SLC$

Entferne α_i aus $\beta = \alpha_1; \dots; \alpha_n$, falls $\alpha_i = x \leftarrow e$ und $x \notin LV_i (i = 1, \dots, n)$

Bsp: Entferne α_2 , nicht jedoch α_1 :

Möglichkeit: LV-Analyse wiederholen

Verbesserte Analyse: NV (needed Variable)-Analyse

Modifikation:

[22.10.2004]

$$\alpha = x \leftarrow e \quad \tilde{t}_\alpha(M) := \underline{\text{if}} \ x \in M \ \underline{\text{then}} \ M/x \cup V_e \ \underline{\text{else}} \ M$$

$$NV_n = OV$$

$$NV_{i-1} := \tilde{t}_{\alpha_i}(NV_i)$$

Beispiel 2.2.3:

$$NV_4 = \{u, v\}$$

$$NV_3 = \{u, x, y\}$$

$$NV_2 = \{x, y\}$$

$$NV_1 = \{x, y\}$$

$$NV_0 = \{x, y\}$$

Korrektheit: $\pi \approx T_{DC}(\pi) \approx \tilde{T}_{DC}(\pi)$

Optimierung: $c(\tilde{T}_{DC}(\pi)) \leq c(T_{DC}(\pi)) \leq c(\pi)$ c: Programmlänge, Op-Anzahl

2.3 RD-Analyse und Konstantenfaltung

Ziel: partielle Auswertung von $\pi \leftarrow SLC$ -Programm unter Kenntnis von Konstanten (Einfluss der Semantik);

genauer: ersetze konstante Variablen und konstante Ausdrücke auf rechten Seiten von Wertzuweisungen durch ihre Werte (Propagation [Variablen] und Faltung [Ausdrücke])

RD-Analyse: $\pi = (IV, \beta, OV) \in SLC$ mit $\beta = \alpha_1; \dots; \alpha_n$

Interpretation $\mathbf{a} = \langle A; \varphi \rangle$

Bestimme für $i = 1, \dots, n$ die dort gültigen, eingabeunabhängigen (konstanten) Variablenwerte.

$$V_\pi = \{v_1, \dots, v_k\}$$

$$D := (A \cup \{\square\})^K \quad d = (d_1, \dots, d_k)$$

$d_j \in A$ bedeutet: v_j hat den Wert d_j

$d_j \in \square$ bedeutet: Wert von v_j unbekannt oder eingabeabhängig für $j = 1, \dots, k$

Erweiterung der Ausdrucksemantik von e:

$$\llbracket e \rrbracket_{\mathbf{a}}(d) \in A \cup \{\square\}$$

$$\llbracket e \rrbracket_{\mathbf{a}}(d) = \square \text{ : } \rightsquigarrow \exists v_j \in V_e \text{ mit } d_j = \square$$

(Strikte Semantik: $0 * \square = \square$)

$$t_{x \leftarrow e}(d_1, \dots, d_k) = d^1_1, \dots, d^1_k$$

$$d_j = \begin{cases} \llbracket e \rrbracket_{\mathbf{a}}(d_1, \dots, d_k), & \text{falls } x = v_j \\ d_j, & \text{sonst} \end{cases}$$

$$\begin{aligned}
RD_1 &= (\square, \dots, \square) \in D \\
RD_{i+1} &= t_{\alpha_i}(RD_i) \\
RD_i \in D &= (A \cup \{\square\})^k
\end{aligned}$$

Beispiel 2.3.1:

$$V_\pi = \left\{ \underbrace{x}_1, \underbrace{y}_2, \underbrace{z}_3 \right\}$$

$$RD_1 = (\square, \square, \square)$$

$$RD_2 = (\square, 10, \square)$$

$$RD_3 = (\square, 10, 2)$$

$$RD_4 = (\square, 10, 20)$$

$$RD_5 = (\square, \square, 20)$$

$$RD_6 = (\square, \square, \square)$$

Konstantenfaltung

$$T_{CF} : SLC \rightarrow SLC$$

$$T_{CF}(IV, \beta, OV) := (IV, T_{CF}(\beta), OV)$$

$$T_{CF}(\alpha_1; \dots; \alpha_n) := T_{CF}(\alpha_1); \dots; T_{CF}(\alpha_n)$$

$$T_{CF}(\alpha_i) := x_i \leftarrow T_{CF}(e_i, RD_i)$$

$$\alpha_i = x_i \leftarrow e_i$$

$$T_{CF}(a, d) := a$$

$$T_{CF}(v_j, d) := \text{if } d_j \in A \text{ then } d_j \text{ else } v_j$$

$$T_{CF}(f(u_1, \dots, u_r), d) := \text{if } \exists j \in \{1, \dots, k\} T_{CF}(u_j, d) \in V_\pi \text{ then } f(T_{CF}(u_1, d), \dots, T_{CF}(u_r, d)) \\ \text{else } f_a(T_{CF}(u_1, d), \dots, T_{CF}(u_r, d))$$

Beispiel 2.3.2:

$$T_{CF}(\alpha_3) = z \leftarrow T_{CF}(y * z, (\square, 10, 2)) = z \leftarrow 20$$

$$T_{CF}(\alpha_5) = z \leftarrow T_{CF}(y * z, (\square, \square, z)) = z \leftarrow T_{CF}(y, (\square, \square, 20)) * T_{CF}(z, (\square, \square, 20)) = \\ Z \leftarrow y * 20$$

Korrektheit von T_{CF}

Offensichtlich gilt: $\pi \sim_a T_{CF}(\pi)$

Optimierung: Programmmlänge unverändert, Op-Anzahl kann sinken

Besonderer Seiteneffekt: Entstehung von Dead Code

Bsp: $\alpha_2, \alpha_1, \alpha_3$

2.4 DAG-Darstellung von SLC-Programmen

DAG (directed acyclic graph) nützliche Datenstruktur zur Implementierung von Transformationen auf SLC-Programmen

Idee: Termdarstellung der Werte einer Berechnung

Definition 2.4.1: gerichteter (Σ, V, A) -Graph

$D = \langle K, lab, suc \rangle$ heisst gerichteter (Σ, V, A) -Graph, wenn

- k nicht-leere, endliche Menge von Knoten

- lab: $K \rightarrow (\Sigma \cup V \cup A)$ eine Markierungsfunktion
- suc: $K \times \mathbb{N} \rightarrow K$ eine Nachfolgerfunktion mit der Eigenschaft suc(k, i) ist def $\curvearrowright \curvearrowright \underline{\text{lab}}(k) = f \in \Sigma^{(r)}$ und $1 \leq i \leq r$

[25.10.2004]

Definition 2.4.2:

Ein gerichteter azyklischer (Σ, V, A) -Graph heisst (Σ, V, A) -DAG.

Beachte: Jeder Knoten k eines solchen Graphen repräsentiert einen Term $t_k \in T_\Sigma(V \cup A)$

Der DAG eines SLC-Programms

Sei $\pi = (IV, \beta, OV) \in SLC$ mit $\beta = \alpha_1; \dots; \alpha_n$ Der DAG von π wird durch “Symbolische Programmausführung mit Konstantenfaltung“ bestimmt.

Wir definieren den DAG zunächst ohne Bezug auf OV:

$$D(IV, \beta) = \langle K; \underline{\text{lab}}; \underline{\text{suc}} \rangle$$

zusammen mit einer Bewertungsfunktion

$$\underline{\text{val}} : IV \cup V_\beta \rightarrow K$$

Bei der val(x) = k, falls k den Wert von x nach Durchführung von β darstellt

Idee:

- verschiedene Knoten für verschiedene Werte (sharing!)
→ CS-Elimination
- ersetzen konstanter Ausdrücke
→ CF-Transformation

Anschliessende Betrachtung von OV

- OV bestimmt Teilgraphen $\rightarrow D(\pi)$
→ DC-Elimination

Konstruktion von $D(IV, \beta)$ und val durch Induktion über die Codelänge n.

1. Induktionsanfang: n = 0

$$D(IV, \mathcal{E}) := \langle K; \underline{\text{lab}}; \underline{\text{suc}} \rangle \text{ mit}$$

$$K := IV \underline{\text{lab}}(x) := x \text{ für alle } x \in IV$$

$$\underline{\text{Def}}(\underline{\text{suc}}) := \emptyset$$

$$\underline{\text{val}}(x) := x$$

2. Induktion: $n \rightarrow n + 1$

$$(IV, \beta_{n+1}) \text{ mit } \beta_{n+1} = \alpha_1; \dots; \alpha_n; \alpha_{n+1}$$

Nach Induktionsvoraussetzung ist für $\beta_n := \alpha_1; \dots; \alpha_n$ bekannt

$$D(IV, \beta_n) = \langle K; \underline{\text{lab}}; \underline{\text{suc}} \rangle \text{ und } \underline{\text{val}}(x) \in K \text{ für alle } x \in IV \cup V_{\beta_n}$$

Konstruktion von

$$D(IV, \beta_{n+1}) = \langle K'; \underline{\text{lab}}'; \underline{\text{suc}}' \rangle \text{ und } \underline{\text{val}}' : IV \cup V_{\beta_{n+1}} \rightarrow K' \text{ ist bestimmt durch } \alpha_{n+1} = x \leftarrow e$$

- (a) $e = y$
 Nach Induktionsvoraussetzung (und Variablenbedingung) $\underline{val}(y) \in K$
 $D(IV, \beta_{n+1}) := D(IV, \beta_n)$
 $\underline{val}'(x) := \underline{val}(y)$ ("sharing")
 $\underline{val}'(x') := \underline{val}(x')$ für $x' \neq x$
- (b) $e = a \in A$
- i. $a \in K$ $D(IV, \beta_{n+1}) := D(IV, \beta_n)$ und $\underline{val}'(x) = a$ $\underline{val}'(x') = \underline{val}'(x')$ für $x' \neq x$
 - ii. $a \notin K$ $K' := K \cup \{a\}$ $\underline{lab}'(a) = a$ und $\underline{suc}'(a, i)$ nicht definiert für alle i $\underline{suc}'(k, i) = \underline{suc}(k, i)$ sonst
 $\underline{val}'(x) := a \in K'$
 $\underline{val}'(x') = \underline{val}'(x')$ $x' \neq x$
- (c) $e = f(u_1, \dots, u_r)$ mit $u_j \in V \cup A$
- a) Für alle $j = 1, \dots, r$ gilt:
 $u_j \in A$ (falls $u_j \notin K$, neuen Knoten wie in 2b) oder $u_j \in V$
 mit $\underline{val}(u_j) \in A$
 Dann folgt: $f_a(u'_1, \dots, u'_r) =: b \in A$

$$\text{mit } u'_j = \begin{cases} u_j, & \text{falls } u_j \in A \\ \underline{val}(u_j), & \text{falls } u_j \in V \end{cases}$$

- a1) $b \in K$ $D(IV, \beta_{n+1}) := D(IV, \beta_n)$
 $\underline{val}'(x) := b$ $\underline{val}'(x') = \underline{val}'(x')$ für $x' \neq x$
- a2) $b \notin K$ Erweiterung von $D(IV, \beta_n)$ um neuen Knoten für b
 Bewertung \underline{val}' wie in a1
- b Es gibt $j \in \{1, \dots, r\}$ mit $u_j \in V$ und $\underline{val}(u_j) \notin A$
- b1 Es gibt $k \in K$ mit $\underline{lab}(b) = f$

$$\text{und } \underline{suc}(k, j) = \begin{cases} a, & \text{falls } u_j = a \in A \\ \underline{val}(u_j), & \text{falls } u_j \in V \end{cases}$$

$$D(IV, \beta_{n+1}) := D(IV, \beta_n)$$

$$\underline{val}'(x) := k \text{ und } \underline{val}'(x') = \underline{val}'(x') \text{ für } x' \neq x$$

- b2) Es gibt kein $k \in K$, welches nach b1) den Wert e repräsentiert. $K' := K \cup \{k'\}$ (neuer Knoten k')
 $\underline{lab}'(k') := f$

$$\underline{suc}'(k', j) := \begin{cases} a, & \text{falls } u_j = a \in A \\ \underline{val}(u_j), & \text{falls } u_j \in V \end{cases}$$

$\pi = (IV, \beta, OV) \in SLC$
 $\beta = \alpha_1; \dots; \alpha_n$
Eigenschaften von $D(IV, \beta)$:

[Folie: Beispiel: DAG-Konstruktion]
 [29.10.2004]

16KAPITEL 2. ANALYSE UND OPTIMIERUNG VON STRAIGHT-LINE CODE

1. Verschiedene Knoten repräsentieren verschiedene Terme:

$$k_1 \neq k_2 \curvearrowright t_{k_1} \neq t_{k_2}$$

2. Kein Knoten repräsentiert einen konstanten Op-Term $t_k \in T_\Sigma(A) \curvearrowright t_k \in A$

Folgerung:

1. unterstützt CS-Elimination
2. unterstützt CF-Transformation

Bsp:

- gemeinsame Teilausdrücke: $\underline{val}(t) = \underline{val}(u)$
- Konstantenfaltung: $\underline{val}(z) = 4, \underline{val}(v) = \underline{val}(t) * 4$

$D(IV, \beta)$ unterstützt mit Hilfe von OV auch die DC-Elimination

$k \in K$ heisst ausgaberelevant, wenn $y \in OV$ existiert, so dass k von $\underline{val}(y)$ erreichbar ist.

Nicht ausgaberelevante Knoten repräsentieren Dead Code

Bsp: $2\oplus$ -Knoten und (2)

Durch entfernen dieser Knoten und Einschränkung von \underline{val} auf OV erhalten wir:

1. den DAG von π : $D(\pi)$
2. die Bewertungsfunktion $\underline{val}: OV \rightarrow K$

Programmoptimierung mit $D(\pi)$ und $\underline{val} OV \rightarrow K$

Konstruktion eines DAG-optimierten Programms $T_D(\pi) := \pi_D := (IV, \beta_D)$

Fall 1 \underline{val} injektiv, d.h. verschiedene Ausgabevariablen zeigen auf verschiedene Knoten

- (a) $\underline{val}(OV) \cap (IV \cup A) = \emptyset$, d.h., Ausgabevariablen zeigen nur auf Op-Knoten

Idee: Op-Knoten als Hilfsvariablen verwenden und für $\underline{val}(y) = k$ y statt k verwenden

Jeder Op-Knoten k bestimmt mit $\underline{lab}(k) = f \in \Sigma^{(r)}$ und den Nachfolgeknoten eine Anweisung:

$$\alpha_k := K \leftarrow f(\underline{suc}(k, 1), \dots, \underline{suc}(k, r))$$

Beachte: $\underline{suc}(k, j) \in IV \cup A \cup K \cup OV$

Wähle eine Bottom-Up-Numerierung der Op-Knoten k_1, k_2, \dots, k_s (z.B schichtenweise von links nach rechts) so dass $k_j \leftarrow f(\dots k_i \dots) \curvearrowright i < j$.

Dann gilt $\pi_D := (IV, \beta_D, OV) \in SLC$ mit $\pi_D := \alpha_{k_1}; \dots; \alpha_{k_s}$

Beachte: $OV \subseteq \{k_1, \dots, k_s\}$ und π_D erfüllt die Variablenbedingung.

Ausserdem besitzt π_d die "single assignment"-Eigenschaft.

- (b) $\underline{val}(y) \in IV \cup A$
 π_D von a) um $y \leftarrow \underline{val}(y)$, es sei denn, dass $y = \underline{val}(y)$.

Fall 2 $\underline{val}(y_1) = \underline{val}(y_2) = \dots = \underline{val}(y_n)$

π_D -Konstruktion von Fall 1 bezüglich y_1 , durchführen auf $y_2 \leftarrow y_1, \dots; y_n \leftarrow y_1$ ergänzen

Zusammenhang zwischen DAG-Optimierung und CS-, DC-, CF- und Cp-Optimierung

Beispiel 2.4.3:

$T_{DC}(T_{CP}(T_{CS}(T_{CF}(\pi))))$

$T_{CF}(\pi) :$	$u \leftarrow 2;$
$u \leftarrow 2;$	(1) $w \leftarrow x + y;$
$w \leftarrow x + y;$	$z \leftarrow 4;$
$z \leftarrow 4;$	(2) $u' \leftarrow x * w;$
$u \leftarrow x * w;$	$u \leftarrow u';$
$v \leftarrow 4 + w;$	$v \leftarrow 4 + w;$
$v \leftarrow u + 4;$	$v \leftarrow u' + 4;$
$t \leftarrow x * w;$	$t \leftarrow u';$
$v \leftarrow t * z;$	(3) $v \leftarrow u' * 4;$
OV: u, v	OV: u', v

Allgemein gilt:

1. Die DAG-Transformation ist korrekt:

$$\pi \approx \pi_D$$

Beachte: Die Konstantenfaltung kann bereits ohne Interpretation durchgeführt werden. (bzw. auf Termen; Grundterme als Konstantensymbole zulassen)

2. $T_D(\pi)$ ist optimal bzgl. $T_{DC}, T_{CS}, T_{CF}, T_{CP}$, d.h. keine dieser Transformationen kann $T_D(\pi)$ weiter optimieren.
3. $T_D(\pi)$ optimal bzgl. \approx und Codelänge (?)
4. Vermutung: Für jedes $\pi \in SLC$ gibt es ein $n \in \mathbb{N}$ mit $T_D(\pi) = [T_{DC} \circ (T_{CP} \circ T_{CS})^n \circ T_{CF}](\pi)$ [03.11.2004]
5. T_D nicht auf iterative Programme übertragbar, wohl aber die anderen Transformationen $T_{CS}, T_{CF}, T_{CP}, T_{DC}$

2.5 Weitere Optimierung von SLC-Programmen

Berücksichtigung der Interpretation $\mathbf{a} = \langle A_i; \varphi \rangle$ als (Σ, C) -Algebra
 Algebraische Eigenschaften: Gleichungen

Beispiel 2.5.1:

$\langle \mathbb{Z}; +, -, *, / \rangle$

18KAPITEL 2. ANALYSE UND OPTIMIERUNG VON STRAIGHT-LINE CODE

- neutrale Elemente:

$$0 + a = a$$

$$1 * a = a$$

$$a/1 = a$$

- kommutative Operationen:

$$a + b = b + a$$

$$a * b = b * a$$

- assoziative Operationen: $(a + b) + c = a + (b + c)$
- distributive Operationen: $a * (b + c) = a * b + a * c$

Beispiel 2.5.2:

$\langle \mathbb{B}; \text{and, not, true, false} \rangle$

- true or b = true
- false and b = false
- not not b = b

Ziel algebraischer Transformationen:

- ersetze teure Anweisungen durch billigere
- lokale, kontextunabhängige Ersetzung
- keine Gesamtanalyse von π erforderlich

Peep-hole-Optimierung

Idee: schiebe ein kleines Fenster über das Programm und optimiere innerhalb des Fensters

Beispiel 2.5.3:

$$\bullet \left. \begin{array}{l} y \leftarrow x + a \\ z \leftarrow y - a; \end{array} \right\} \begin{array}{l} y \leftarrow x + a; \\ z \leftarrow x; \end{array}$$

- $x \leftarrow x + 0;$ weglassen
- $u \leftarrow x + y;$
 $v \leftarrow y + z;$
 $w \leftarrow v + x;$
v wird nicht mehr benötigt

$$w = (y + z) + x = (x + y) + z$$

$$u \leftarrow x + y;$$

$$w \leftarrow u + z;$$

Reduction in Strength

Ersetze $x \leftarrow y * *2$ durch $x \leftarrow y * y$;

Ersetze $x \leftarrow 2 * y$ durch $x \leftarrow y + y$;

Optimalität von SLC-Programmen

Spezialfall: $\mathbf{a} = \langle \mathbb{Z}; +, * \rangle$

keine Konstanten

Kostenmass: Programmlänge

Dann gilt für $\pi \in SLC$:

es existiert ein optimales Programm π_{opt} für π

d.h. $\pi_{opt} \tilde{\mathbf{a}} \pi$ und $c(\pi_{opt}) \leq c(\pi')$ für alle π' mit $\pi' \tilde{\mathbf{a}} \pi$

Konstruktion von π_{opt} : NP-vollständig (?)

optimaler Code für arithmetische Ausdrücke

Polynomberechnung

Spezialfall: $g(x) = ax^{16} + x^8 + cx^4 + dx^2 + ex + f$

[Folie: Optimierung von Polynomen]

- DAG-optimales π mit 36 Anweisungen, 31 Multiplikationen
- möglich: 14 Anweisungen, 9 Multiplikationen

Semantik iterativer und rekursiver Programme ebenso wie Datenflussanalyse
 beschreibbar als Lösung von Gleichungssystemen
 dazu: vollständige Halbordnungen, vollständige Verbände
 monoton und stetige Funktionen
 Fixpunktberechnungen

Definition 2.5.4:

Halbordnung Sei D eine Menge und $\leq \subseteq D \times D$.

Dann heisst $\mathcal{D} = \langle D, \leq \rangle$ eine Halbordnung mit der Halbordnungrelation \leq , falls für alle $a, b, c, \in D$ gilt:

- $a \leq a$ (reflexiv)
- $a \leq b, b \leq c \curvearrowright a \leq c$ (transitiv)
- $a \leq b, b \leq a \curvearrowright a = b$ (antisymmetrisch)

Sei $a \in D$ und $T \subseteq D$. Dann heisst

- a obere Schranke von T , falls $T \leq a$
- a kleinstes Element von T , falls $a \in T$ und $a \leq T$
- a kleinste obere Schranke von T , falls $T \leq a$ und $(T \leq a' \curvearrowright a \leq a')$
 Bez.: $a \sqcup T$ (“join“, “lub“ (least upperbound))
Beachte: kleinste Elemente, insbesondere \sqcup , sind eindeutig bestimmt.
- Besitzt \mathcal{D} ein kleinstes Element, so wird es durch \perp (“bottom“) bezeichnet
- $\gamma : \mathbb{N} \rightarrow D$ heisst Kette, falls $\gamma(i) \leq \gamma(i + 1)$ für alle $i \in \mathbb{N}$ (aufsteigende ω Kette)
Bez.: $(\gamma(i) | i \in \mathbb{N}) = \gamma$
 nicht verwechseln mit: $\{\gamma(i) | i \in \mathbb{N}\}$
- \mathcal{D} heisst vollständige Halbordnung falls \mathcal{D} ein kleinstes Element hat und jede Kette γ eine kleinste obere Schranke besitzt: $\sqcup \gamma := \sqcup \{\gamma(i) | i \in \mathbb{N}\}$
- \mathcal{D} heisst vollständiger Verband, falls jede Teilmenge $T \subseteq D$ eine kleinste obere Schranke $\sqcup T$ besitzt (Beachte: $\sqcup = \perp \emptyset$)

Schreibweise: $a \sqcup b := \sqcup \{a, b\}$

[05.11.2004]

Beispiel 2.5.5:

Seien A und B Mengen.

Die Menge der $PF(A, B) := \{f | f : A \dashrightarrow B\}$ der partiellen Funktionen von A nach B ist halbgeordnet durch \leq mit $f \leq g \curvearrowright (f(a) \in B \curvearrowright f(a) = g(a)$ für alle $a \in A$), oder: $graph(f) \subseteq graph(g)$.

Die “leere“ Funktion f_\emptyset mit $Def(f_\emptyset) = \emptyset$ ist kleinstes Element von $\langle PF(A, B); \leq \rangle$.
 Jede Kette $f_0 \leq f_1 \leq \dots$ besitzt eine kleinste obere Schranke $f = \sqcup \{f_i | i \in \mathbb{N}\}$.

$f(a) = b \in B \iff \exists i \in \mathbb{N} : f_i(a) = b$

Also ist $\langle PF(A, B); \leq \rangle$ eine vollständige Halbordnung (cpo = complete partial order)

Spezialfall: $PF(A) := PF(A, A)$

Anwendung: Semantik iterativer Programme

Beispiel 2.5.6:

Sei A eine Menge

Die Potenzmenge $P(A) := \{T \mid T \subseteq A\}$ ist halbgeordnet durch \subseteq und bildet mit \subseteq einen vollständigen Verband:

für $\mathcal{T} \subseteq P(A)$ gilt $\bigsqcup \mathcal{T} = \cup \{T \mid T \in \mathcal{T}\}$

Anwendung: Datenflussanalyse (DFA)

Beachte: Ist $\mathcal{D} = \langle D, \leq \rangle$ eine Halbordnung, so auch $\mathcal{D}' := \langle D, \geq \rangle$, die duale Halbordnung von \mathcal{D}

Definition und Lemma 2.5.7: Produkt von Halbordnungen

Sind $\mathcal{D}_i = \langle D_i; \leq_i \rangle$ für $i = 1, 2$ Halbordnungen, so auch $\mathcal{D}_1 \times \mathcal{D}_2 := \langle D_1 \times D_2; \leq \rangle$ mit $(a_1, a_2) \leq (b_1, b_2) \iff a_i \leq_i b_i$ für $i = 1, 2$

Definition und Lemma 2.5.8: Funktionenraum

Sei A eine Menge. Ist $\mathcal{D} = \langle D; \leq \rangle$ eine Halbordnung, so auch $F(A, \mathcal{D}) := \langle F(A, D); \leq \rangle$ mit $F(A, D) := \{f \mid f : A \rightarrow D\}$ und $f \leq g \iff f(a) \leq g(a)$ für alle $a \in A$

Folgerung 2.5.8:

Sind $\mathcal{D}, \mathcal{D}_1$ und \mathcal{D}_2 vollständige Halbordnungen bzw vollständige Verbände, so auch $\mathcal{D}_1 \times \mathcal{D}_2$ und $F(A, \mathcal{D})$.

Insbesondere gilt für Ketten:

- $\bigsqcup \{(a_1^{(i)}, a_2^{(i)}) \mid i \in \mathbb{N}\} = (\bigsqcup \{a_1^{(i)} \mid i \in \mathbb{N}\}, \bigsqcup \{a_2^{(i)} \mid i \in \mathbb{N}\})$
- $\bigsqcup (\{f^{(i)} \mid i \in \mathbb{N}\})(a) = \bigsqcup \{f^{(i)}(a) \mid i \in \mathbb{N}\}$

und für beliebige Teilmengen

- $\bigsqcup T = (\bigsqcup \text{proj}_1(T), \bigsqcup \text{proj}_2(T))$ mit $T \subseteq D_1 \times D_2$
- $(\bigsqcup T)(a) = \bigsqcup T(a)$ mit $T \subseteq F(A, D)$.

Definition 2.5.9: monotone und stetige Funktionen

Seien $\mathcal{D}_i = \langle D_i; \leq_i \rangle$ für $i = 1, 2$ Halbordnungen und $f: D_1 \rightarrow D_2$.

- f heisst monoton, falls $a \leq_1 b \implies f(a) \leq_2 f(b)$ für alle $a, b \in D_1$,
- f heisst stetig, falls \mathcal{D}_1 und \mathcal{D}_2 vollständig, f monoton und für jede Kette $(a_i \mid i \in \mathbb{N})$ um \mathcal{D}_1 gilt: $f(\bigsqcup \{a_i \mid i \in \mathbb{N}\}) = \bigsqcup \{f(a_i) \mid i \in \mathbb{N}\}$

Beachte: f monoton $\leadsto (f(a_i)|i \in \mathbb{N})$ Kette.

Definition 2.5.10:

\mathcal{D} besitzt die ACC-Eigenschaft (ACC = ascending chain condition), wenn gilt:
Für jede Kette $(a_i|i \in \mathbb{N})$ ist $\{a_i|i \in \mathbb{N}\}$ endlich

Folgerung 2.5.10:

1. Eine HO mit ACC ist vollständig
2. Monotone Abb. auf HO mit ACC sind stetig

Definition 2.5.11: Distributivität

Sind \mathcal{D}_1 und \mathcal{D}_2 vollständige Verbände, so heisst $f : \mathcal{D}_1 \rightarrow \mathcal{D}_2$ distributiv, falls $f(a \sqcup b) = f(a) \sqcup f(b)$ für alle $a, b \in \mathcal{D}_1$

Lemma 2.5.12:

Seien \mathcal{D}_1 und \mathcal{D}_2 vollständige Verbände. Dann gilt: $f : \mathcal{D}_1 \rightarrow \mathcal{D}_2$ distributiv $\leadsto f$ monoton.

Beweis

$$a \leq b \leadsto b = a \sqcup b \leadsto f(b) = f(a \sqcup b) = f(a) \sqcup f(b) \leadsto f(a) \leq f(b)$$

Folgerung 2.5.12:

Besitzen \mathcal{D}_1 und \mathcal{D}_2 auch ACC, so gilt: $f : \mathcal{D}_1 \rightarrow \mathcal{D}_2$ distributiv $\leadsto f$ monoton $\leadsto f$ stetig

Satz 2.5.13: Fixpunktsatz

Sei $\mathcal{D} = \langle D; \leq \rangle$ eine vollständige HO und $f : D \rightarrow D$ stetig.
Dann gilt:

1. $(f^i(\perp)|i \in \mathbb{N})$ ist eine Kette von \mathcal{D}
2. $a := \sqcup \{f^i(\perp)|i \in \mathbb{N}\}$ ist Fixpunkt von f , d.h.: $a = f(a)$.
3. a ist kleinster Fixpunkt von f , d.h. $a = f(a)$, Bez: $\underline{\text{fix}}(f)$.

Beweis:

1. $\perp \leq f(\perp) \leq f^2(\perp) \leq \dots$ (weil f monoton)
2. $f(a) = f(\sqcup \{f^i(\perp)|i \in \mathbb{N}\}) = \sqcup \{f^{i+1}(\perp)|i \in \mathbb{N}\} = \sqcup \{f^i(\perp)|i \in \mathbb{N}\} = a$
3. $b = f(b)$
 $\perp \leq b, f(\perp) \leq b, f^2(\perp) \leq b \dots \leadsto b$ ist obere Schranke von $\{f^i(\perp)|i \in \mathbb{N}\}$
 $\leadsto a \leq b$

□

Folgerung 2.5.13:

Ist \mathcal{D} eine HO mit ACC und $f : D \rightarrow D$ monoton. Dann gilt: f besitzt einen kleinsten Fixpunkt $\underline{fix}(f)$ und es existiert $m \in \mathbb{N}$, so dass $\underline{fix}(f) = f^m(\perp)$

[10.11.2004]

Kapitel 4

4 Datenflussanalyse und Optimierung iterativer Programme

Zwischencode für eine abstrakte Maschine: SLC und Verzweigung und Iteration
Bedingte und unbedingte Sprünge als einzige Kontrollstrukturen

Inhalt:

- Syntax und Semantik von IC (iterativer Code)
- Basisblock-Darstellung von IC-Programmen
- Abstrakte Interpretation und Datenflussanalyse (DFA)
- Verallgemeinerung der Analyse und Optimierung von SLC-Programmen auf IC-Programmen

4.1 Syntax von IC

Erweiterung von SLC

$V = \{x, y, \dots\}$ Variablen

$C = \{c, d, \dots\}$ Konstante Symbole

$\Sigma = \cup_{r \geq 1} \Sigma^{(r)}$ *Op-Symbole* (evtl.: $C = \Sigma^{(?)}$)

$\pi = \cup_{r \geq 0} \pi^{(r)}$ Prädikatssymbole

Σ und π endlich

$L = \{l_i | i \in \mathbb{N}\}$ Sprungmarken ("Label")

Definition 4.1.1: Anw Anweisungen

- Wertzuweisungen:
 $v \leftarrow e$ mit $v \in V$ und $e \in V \cup C \cup \{f(u_1, \dots, u_r) | f \in \Sigma^{(r)}, u_i \in V \cup C\}$

- Sprunganweisungen:

goto l mit $l \in L$, if $p(u_1, \dots, u_r)$ goto l mit $p \in \pi^{(r)}$, $u_i \in V \cup C$, $l \in L$

[Folie: IC-Beispielprogramm:
Fakultätsberechnungen]

IC-Programme

[Folie: Beispiel: Flussdiagramm und -graph]

$\pi = (Vlist, Alist) \in IC$: $\curvearrowright \curvearrowleft Vlist = \underline{\text{in}} x_1, \dots, x_n; \underline{\text{out}} y_1, \dots, y_m; \underline{\text{loc}} z_1, \dots, z_p;$
mit

- $IV := \{x_1, \dots, x_n\}$ Eingabevariablen ($n \geq 0$)
- $OV := \{y_1, \dots, y_m\}$ Ausgabevariablen ($m \geq 1$)
- $LV := \{z_1, \dots, z_p\}$ lokale Variablen ($p \geq 0$)
- $V_\pi = IV \cup OV \cup LV$ Programmvariablen

$Alist = \alpha_1; \dots; \alpha_q$ (Anweisungsliste) mit

- $\alpha_i \in \underline{Anw}$, $V_{\alpha_i} \subseteq V_\pi$, $q \geq 0$
- eindeutige Sprungziele: $\alpha_i = l : \dots$, $\alpha_j = l' : \dots$, $i \neq j \curvearrowright l \neq l'$

π erfüllt die Variablenbedingung: jede Programmvariable wird vor ihrer Benutzung definiert (Beachte: Variablen in bedingten Sprunganweisungen werden dort benutzt)

π heisst standardmarkiert, falls $\alpha_i = i : \alpha'_i$ für $i = 1, \dots, q$ und $L_q \subseteq \{1, \dots, q+1\}$ Marken von π

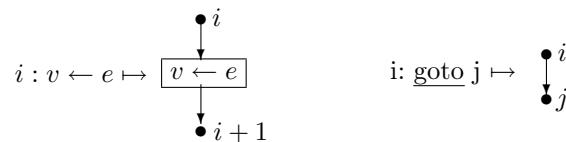
Bsp Fakultät (Folie) π_f berechnet die Fakultät

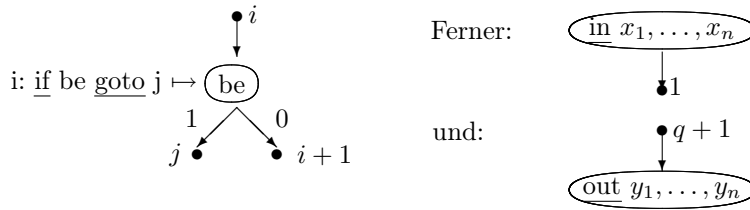
4.2 Semantik von IC

Sei $\pi = (Vlist, Alist) \in IC$, o.B.d.A. sei π standardmarkiert

Das Flussdiagramm von π (Semantik der Kontrolle)

$Alist = 1 : \alpha_1; \dots; q : \alpha_q$





Das Flussdiagramm von π ergibt sich durch Verkleben der entsprechenden Teilgraphen (lokale Variablen ergeben sich indirekt ...)

Fixpunktsemantik

Sei $\mathbf{a} = \langle A; \varphi \rangle$ eine Interpretation für π d.h. $\pi(f^l) = p_{\mathbf{a}} : A^n \rightarrow \{0, 1\}$

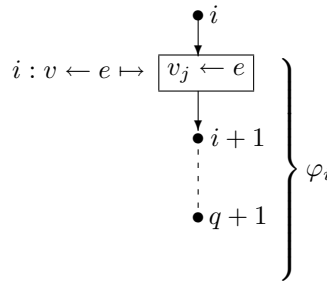
$V_{\pi} := \{v_1, \dots, v_s\}$

Zustandsraum $Z := A^s \bar{a} = (a_1, \dots, a_s)$ als Wert des Variablenvektor $\bar{v} = (v_1, \dots, v_s)$

Für die Fortsetzungsfunktionen ("Continuations")

$\varphi_i : Z \rightarrow Z (i = 1, \dots, q + 1)$ die von Programmmarke i bis zum Programmende berechnet Zustandstransformation, gelten folgende Gleichungen:

- $\alpha_i = v_j \leftarrow e$



$$\leadsto \varphi_i(\sigma) = \varphi_{i+1}(\sigma[j/[e]\sigma])$$

- $\alpha_i \text{ goto } l \leadsto \varphi_i(\sigma) = \varphi_l(\sigma)$
- $\alpha_i = \text{if be goto } l \leadsto \varphi(\sigma) = \text{if } [be]\sigma \text{ then } \varphi_l(\sigma) \text{ else } \varphi_{i+1}(\sigma)$

[12.11.2004]

Fixpunktsemantik für $\pi \in IC$

$\pi = (Vlist, Alist) \mathbf{a} = \langle A; \varphi \rangle$

$V_{\varphi} = \{v_1, \dots, v_s\} Z := A^s$

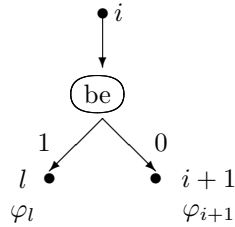
$\bar{a} = (a_1, \dots, a_s) \in Z$

$Alist = 1 : \alpha_1; \dots; q : \alpha_q$

Fortsetzungsfunktionen

- $\alpha_i = v_j \leftarrow e \quad \varphi_i(\bar{a}) = \varphi_{i+1}(\bar{a}[j]/[e]\bar{a})$
- $\alpha_i = \text{goto } l \quad \varphi_i(\bar{a}) = \varphi_e(\bar{a})$

- $\alpha_i = \underline{\text{if}} \text{ be } \underline{\text{goto}} \ l$



$\varphi_1(\bar{a}) = \underline{\text{if}} \ [be] \bar{a} \ \underline{\text{then}} \ \varphi_e(\bar{a}) \ \underline{\text{else}} \ \varphi_{i+1}(\bar{a})$ und
 $\varphi_{q+1}(\bar{a}) = \bar{a}$

Die $\varphi_1, \dots, \varphi_{q+1} : A^s \rightarrow A^s$ bilden daher die Lösung eines Gleichungssystems:

- $F_i(\bar{v} = \tau_i \ (i = 1, \dots, q + 1))$ mit

$$t_i = \begin{cases} F_{i+1}(\bar{v}[v_j/e]), & \text{falls } \alpha_i = v_j \leftarrow e \\ F_l(\bar{v}), & \text{falls } \alpha_i = \underline{\text{goto}} \ l \\ \underline{\text{if}} \ \text{be} \ \underline{\text{then}} \ F_l(\bar{v}) \ \underline{\text{else}} \ F_{i+1}(\bar{v}), & \text{falls } \alpha_i = \underline{\text{if}} \ \text{be} \ \underline{\text{goto}} \ l \end{cases}$$

$$\tau_{q+1} = \bar{v}$$

Berücksichtigung von Ein- / Ausgabe:

Sei $Vlist = \underline{\text{in}}x_1, \dots, x_n; \underline{\text{out}}y_1, \dots, y_n; \underline{\text{loc}}z_1, \dots, z_p$

$$\bar{x} = (x_1, \dots, x_n) \quad (\bar{x}, \bar{a}_0) = \underbrace{(x_1, \dots, x_n, a_0, \dots, a_0)}_s$$

$$\bar{y} = (y_1, \dots, y_m)$$

Das Gleichungssystem (E_π) ist dann definiert durch

$$(E_\pi) \begin{cases} F(\bar{x}) = F_1(\bar{x}, \bar{a}_0) \ a_0 \in A \ \text{beliebig} \\ F_i(\bar{v}) = \tau_i \ i = 1, \dots, q \\ F_{q+1}(\bar{v}) = \bar{y} \end{cases}$$

Lösungstyp:

$$f : A^n \rightarrow A^m \ f_i : A^s \rightarrow A^m$$

Beispiel 4.2.1: Fakultätsprogramm

$$\begin{aligned}
(E_\pi)F(x) &= F_1(x, 12, 12) \\
F_1(x, y, z) &= F_2(x, y, 0) \\
F_2(x, y, z) &= F_3(x, 1, z) \\
F_3(x, y, z) &= \underline{\text{if}} \ x = z \ \underline{\text{then}} \ F_7(x, y, z) \ \underline{\text{else}} \ F_4(x, y, z) \\
F_4(x, y, z) &= F_5(x, y, z + 1) \\
F_5(x, y, z) &= F_6(x, y * z, z) \\
F_6(x, y, z) &= F_3(x, y, z) \\
F_7(x, y, z) &= y
\end{aligned}$$

$$\rightarrow F(x) = F_3(x, 1, 0)$$

$$F_3(x, y, z) = \underline{\text{if}} \ x = z \ \underline{\text{then}} \ y \ \underline{\text{else}} \ F_3(x, y * (z + 1), z + 1)$$

→ Endrekursive Funktionsgleichungen (“tail recursive“)
 Funktionsaufrufe nur in Term Spitze, keine Rücksprünge

a) Reduktionssymantik (operationale Semantik)

$$F(3) \rightarrow F_3(3, 1, 0) \rightarrow F_3(3, 1, 1) \rightarrow F_3(3, 2, 2) \rightarrow F_3(3, 6, 3) \rightarrow 6$$

$$\underline{fac}(3) = 1 * 2 * 3 = 6$$

b) Fixpunktsemantik

Der Funktionenraum (Lösungsraum) $FR_\pi := PF(A^n, A^m) \times PF(A^s, A^m)^{q+1}$
 ist eine vollständige Halbordnung.

Die Gleichungstransformation (“Einsetzungsfunktional“) $T_\pi : FR_\pi \rightarrow FR_\pi$
 ist wie folgt definiert:

für $\bar{\varphi} = (\varphi, \varphi_1, \dots, \varphi_{q+1}) \in FR_\pi$ und $\bar{F} = (F, F_1, \dots, F_{q+1})$ bezeichne
 $\tau_i[\bar{F}/\bar{\varphi}]$ die Ersetzung der Funktionsvariablen aus \bar{F} durch die entsprechenden Funktionen aus $\bar{\varphi}$

Damit:

$$T_\pi(\bar{\varphi}) := (\lambda \bar{x}. \varphi_1(\bar{x}, \bar{a}_0), \lambda \bar{v}. \tau_1[\bar{F}/\bar{\varphi}], \dots, \lambda \bar{v}. \tau_q[\bar{F}/\bar{\varphi}], \lambda, \bar{v}, \bar{y})$$

Beachte: $\bar{\varphi}$ ist Lösung von E_π gdw. $\bar{\varphi} = T_\pi(\bar{\varphi})$

T_π ist stetig und besitzt daher einen kleinsten Fixpunkt $\underline{fix}(T_\pi)$. Seine 1.
 Komponente $[\pi]_{\underline{fix}} := \underline{proj}_1(\underline{fix}(T_\pi)) : A^n \rightarrow A^m = \underline{proj}_1(\bigsqcup\{T_\pi^i(\perp) \mid i \in \mathbb{N}\})$
 $\perp = (f_\emptyset, f_{1_\emptyset}, \dots, f_{q+1_\emptyset})$ heisst Fixpunktsemantik von π

[17.11.2004]

Bsp Fakultätsprogramm

$$\bar{F}(x) = G(x, 1, 0)$$

$$G(x, y, z) = \underline{\text{if}} \ x = z \ \underline{\text{then}} \ y \ \underline{\text{else}} \ G(x, y * (z + 1), z + 1)$$

$$FR_{\pi_f} = PF(\mathbb{Z}, \mathbb{Z}) \times PF(\mathbb{Z}^3, \mathbb{Z})$$

$$\perp = (f_\emptyset = \lambda x., g_\emptyset = \lambda(x, y, z).)$$

$$T(\perp) = (f_\emptyset = \lambda x., \lambda(x, y, z). \underline{\text{if}} \ x = z \ \underline{\text{then}} \ y)$$

$$T^2(\perp) = (\lambda x. \underline{\text{if}} \ x = 0 \ \underline{\text{then}} \ 1, \lambda(x, y, z). \underline{\text{if}} \ x = z \ \underline{\text{then}} \ y \quad \underline{\text{if}} \ x = z + 1 \ \underline{\text{then}} \ y * (z + 1))$$

$$T^3(\perp) = (\lambda x. \text{if } x = 0 \text{ then } 1 \lambda(x, y, z). \text{if } x = z \text{ then } y \\ \text{if } x = 1 \text{ then } 1) \quad \text{if } x = z + 1 \text{ then } y * (z + 1) \\ \text{if } x = z + 2 \text{ then } y * (z + 1) * (z + 2)$$

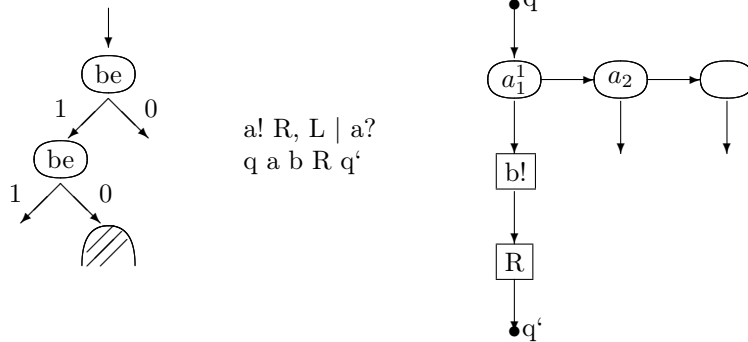
$$T^{n+1}(\perp) = (\lambda x. \text{if } x \leq n - 1 \text{ then } x', \\ (\lambda(x, y, z). \text{if } x = z \text{ then } y \\ \text{if } z + 1 \text{ then } y * (z + 1) \\ \text{if } z + n \text{ then } y * (z + 1) * (z + 2) * \dots * (z + n))$$

Also: $[\pi]_{fix}(x) = \text{if } x \geq 0 \text{ then } x!$

Folgerungen der Semantik von IC-Programmen

1. Eine Anweisung kann wiederholt werden, evtl. unendlich oft (Programmschleifen)
2. Ein Programmpfad (einen eingabeunabhängiger Pfad im Flussdiagramm vom eingabe- zum Ausgabeknoten) muss kein Berechnungspfad sein (eingabeunabhängiger Pfad einer Berechnung)

Bsp



→ Programmanalyse: Approximation von Programmeigenschaften, Prädikate ignorieren, Programmpfade betrachten

- Menge der Programmpfade von $\pi \in IC$ ist regulär.
- Menge der Berechnungspfade ist i. a. rekursiv aufzählbar, aber nicht entscheidbar

⇒ sichere, aber evtl. unvollständige Optimierungsinformationen.

4.3 Flussgraphen von IC-Programmen

Idee: deterministische Verzweigung durch nicht-deterministische Auswahl ersetzen; Programmpfade statt Berechnungspfade

Sei $\pi = \langle Vlist, Alist \rangle \in IC$ und $Alist = 1 : \alpha_1; \dots; q : \alpha_q$

1. SI-Graph (SI = Single Instruction)

$$G_{\pi}^{SI} = \langle \underline{Kno}, \underline{Kan}, s \rangle$$

$$\underline{Kno} := \{ \alpha_i | \alpha_i = x \leftarrow e, 1 \leq i \leq q \} \cup \{ be | \alpha_i = \underline{if\ be\ goto\ } j, 1 \leq i, j \leq q \}$$

$$s = \alpha_1 \text{ (o.B.d.A } \alpha_1 \text{ Wertzuweisung)}$$

Kan wie im Flussdiagramm

2. BB - Graph (BB = basic block)

Ziel: Vereinfachung der Programmanalyse

Idee: Zerlegung von π in maximale SLC-Blöcke

Konstruktion von $G_{\pi}^{BB} = \langle \underline{Kno}, \underline{Kan}, s \rangle$:

α_i heisst Blockanfang, falls eine der folgenden Bedingungen gilt:

- $i = 1$
- i ist Sprungziel von π (kommt als goto i in π vor)
- α_{i-1} ist Sprunganweisung

Ein Blockanfang α_i bestimmt $\alpha_i; \alpha_{i+1}; \dots; \alpha_j$ als längste Anweisungsfolge ohne weiteren Blockanfang. Weglassen von goto k und ersetzen von if be goto k durch be ergibt den Basisblock $\alpha_{i_1}; \dots, \alpha_{i_k}$

Bsp π_f Blockanfänge $\alpha_1, \alpha_3, \alpha_4$

$$\beta_1 = \alpha_1; \alpha_2$$

$$\beta_2 = \alpha_3$$

$$\beta_3 = \alpha_4, \alpha_5$$

Flussgraphen von IC-Programmen (Korrektur)

1. SI-Graphen

$$\pi = 1 : \alpha_1; \dots; q : \alpha_q$$

$$G_{\pi}^{SI} = \langle \underline{Kno}, \underline{Kan}, s \rangle \text{ und } \underline{lab}: \underline{Kno} \rightarrow \text{Wertzuweisungen} \cup \text{Bool. Exp.} \cup \{ \underline{START} \}$$

$$\underline{Kno} := \{ i | 0 \leq i \leq q, \alpha_i \neq \underline{goto\ } j \}$$

$$\underline{lab}(0) = \underline{START}$$

$$\underline{lab}(i) = \begin{cases} \alpha_i, & \text{falls } \alpha_i = x \leftarrow e \\ be, & \text{falls } \alpha_i \underline{if\ be\ goto\ } j \end{cases}$$

$$1 \leq i \leq q; s := 0$$

Kan folgen aus Flussdiagramm von π $\{ \boxed{\underline{START}} \} \rightarrow \square$

[19.11.2004]

[Folie: ??? von π_f]

[Folie: Beispiel: BB- und SI-Graph]

2. BB-Regel

$$G_{\pi}^{BB} = \langle \underline{Kno}, \underline{Kan}, s \rangle$$

siehe letzte Vorlesung

\underline{Kno} = Basisblöcke + Startblöcke

3. Flussgraphen für die Rückwärtsanalyse

$$G_{\pi}^{SI}, G_{\pi}^{BB} \text{ Kanten invertieren}$$

STOP-Knoten des Flussdiagramms als Startknoten

4.4 Datenflussanalyse-Systeme

2 Komponenten:

- ein Flussgraph als Abstraktion eines Flussdiagramms (Programmpfade)
- eine abstrakte Interpretation:
Analyseinformation als Element eines vollständigen Verbands mit ACC
Informationstransformationen als monotone Abbildungen

Definition 4.4.1:

Sei \underline{Kno} eine nicht-leere endliche Menge von Knoten;

$\underline{Kan} \subseteq \underline{Kno} \times \underline{Kno}$ eine Menge von Kanten

und $s \in \underline{Kno}$ ein Startknoten.

Für $k \in \underline{Kno}$ bezeichne $\underline{Var}(k) := \{k' \in \underline{Kno} \mid (k', k) \in \underline{Kan}\}$ die Menge der (direkten) Vorgängerknoten.

Für $k, k' \in \underline{Kno}$ bezeichne

$$\underline{Pfad}[k, k'] := \{(k_1, \dots, k_r) \mid k_1 = k, k_r \in \underline{Var}(k') \text{ und } (k_i, k_{i+1}) \in \underline{Kan} \text{ für } i = 1, \dots, r-1\}$$

die Menge der Pfade von k zu einem direkten Vorgängerknoten von k' .

$G = \langle \underline{Kno}, \underline{Kan}, s \rangle$ heisst Flussgraph, falls

$$\underline{Var}(s) = \emptyset.$$

Folgerung 4.4.1:

Für $\pi \in IC$ sind $G_{\pi}^{SI}, G_{\pi}^{BB}, G_{\pi}^{SI}, G_{\pi}^{BB}$ Flussgraphen

Definition 4.4.2: Abstrakte Interpretation eines Flussgraphen

Sei $G = \langle \underline{Kno}, \underline{Kan}, s \rangle$ ein Flussgraph.

Sei $\mathcal{D} = \langle D; \leq \rangle$ ein vollständiger Verband mit ACC

$d_s \in D$ eine Startinformation

und $\varphi : \underline{Kno} \rightarrow \{f \mid f : D \rightarrow D \text{ monoton}\}$ mit $\varphi(s) = \text{id}_D$

Dann heisst $\mathcal{I} = \langle \mathcal{D}, \varphi, d_s \rangle$ eine abstrakte Interpretation von G

Definition 4.4.3: DFA-System

Ist G ein Flussgraph und \mathcal{J} eine abstrakte Interpretation von G , so heisst $\Delta = \langle G, \mathcal{J} \rangle$ ein DFA-System (bei Indermark, in der Literatur: "monotone framework") ein DFA-System bestimmt in natürlicher Weise eine MOP-Lösung (meet over all paths) sowie eine MFP-Lösung (maximal fixed-point)
 Nachtrag: $\varphi_k(d) = \varphi(k)(d)$

Definition 4.4.4: Die MOP-Lösung eines DFA-Systems

Sei $\Delta = \langle G, \mathcal{J} \rangle$ ein DFA-System

Für $k \in \underline{\text{Kno}}$ und $p = (k_1, \dots, k_r) \in \underline{\text{Pfad}} [s, k]$

definieren wir die Analyseinformation von k bzgl. p

$$AI_k^p := \varphi_{k_r}(\varphi_{k_{r-1}} \dots (\varphi_{k_1}(d_s) \dots))$$

Dann ist die MOP-Lösung für k die folgende Analyseinformation

$$AI_R^{MOP} := \bigsqcup \{ AI_k^p \mid p \in \underline{\text{Pfad}} [s, k] \} \text{ für } k \neq s \text{ und } AI_s^{MOP} := d_s$$

$AI^{MOP} := (AI_k^{MOP} \mid k \in \underline{\text{Kno}})$ heisst MOP-Lösung von Δ

Bem Die MOP-Lösung AI^{MOP} ist im allgemeinen nicht berechenbar.

Definition 4.4.5: Die MFP-Lösung eines DFA-Systems

Sei $\Delta = \langle G, \mathcal{J} \rangle$ ein DFA-System.

Δ bestimmt ein System E_Δ von Datenflussgleichungen

$$(E_\Delta) \begin{cases} X_s = d_s \\ X_k = \bigsqcup \{ \varphi_i(X_i) \mid i \in \underline{\text{Var}}(k) \}, \quad k \in \underline{\text{Kno}} \setminus \{s\} \end{cases}$$

[24.11.2004]

E_Δ bestimmt eine Gleichungstransformation

$$T_\Delta : D^n \rightarrow D^n$$

$$T_\Delta(A_1, \dots, A_n) := (a_s, \bigsqcup \{ \varphi_i(A_i) \mid i \in \underline{\text{Var}}(2) \}, \dots, \bigsqcup \{ \varphi_i(A_i) \mid i \in \underline{\text{Var}}(n) \})$$

und die MFP-Lösung von Δ

$$AI^{MFP} := \underline{\text{fix}}(T_\Delta) \in D^n$$

Beachte: $\mathcal{D} = \langle D, \leq \rangle$ vollständiger Verband mit ACC.

$\varphi_i : D \rightarrow D$ monoton \curvearrowright φ_i stetig \curvearrowright T_Δ stetig und wegen ACC existiert $m \in \mathbb{N}$ mit $\underline{\text{fix}}(T_\Delta) = T_\Delta^m(\perp)$ in D^n

Also: AI^{MFP} in endlich vielen Schritten berechenbar.

Satz 4.4.6: Correctness-Theorem

In einem DFA-System Δ gilt:

$$AI^{\text{eigentl.}} \leq AI^{MOP} \leq AI^{MFP}$$

Beweis: Es genügt zu zeigen, dass für alle $1 < k \leq n$, $p \in \underline{\text{Pfad}} [1, k]$ und $a = (a_1, \dots, a_n)$ mit $a = T_\Delta(a)$ gilt:

$$(*) AI_r^p \leq a_k$$

(*) \curvearrowright Beh.: $AI_i^{MOP} = d_1 = AI_1^{MFP}$ $k \neq 1$ $AI_k^p \leq AI_k^{MFP}$ nach (*) wegen Fp-Eigenschaft von AI^{MFP} , also: $AI_k^{MOP} \leq AI_k^{MFP}$

Beweis von (*): Aus (E_Δ) und $a = T_\Delta(a)$

(**) $\varphi_i(a_i) \leq a_k$ für $1 < k \leq n$ und $i \in \underline{\text{Var}}(k)$

Wir zeigen (*) durch Induktion über die Länge r von p

$r = 1$: Dann muss $p = 1 \in \underline{\text{Var}}(k)$, so dass nach (**)

$$AI_k^p = \varphi_1(a_1) \leq a_k$$

$\tilde{r}r + 1$: Sei $p \in \underline{\text{Pfad}}[1, k]$ mit Länge $r + 1$.

$p = p' * i$ mit $i \in \underline{\text{Var}}(k)$, $i \neq 1$ (wegen $\underline{\text{Var}}(1) = \emptyset$) und $p' \in \underline{\text{Pfad}}[1, i]$

[Grafik]

Nach IV: $AI_i^{p'} \leq a_i$

und nach (***) $\varphi_i(a_i) \leq a_k$

Aus beiden Ungleichungen und der Monotonie von φ_i

folgt: $AI_k^p = \varphi_i(AI_i^{p'}) \leq \varphi_i(a_i) \leq a_k$

[/Grafik]

□

Satz 4.4.7: Completeness Theorem, Coincidence Theorem

Sind in einem DFA-System Δ die Funktion $\varphi_k : D \rightarrow D$ distributiv ($\varphi_k(a \sqcup b) = \varphi_k(a) \sqcup \varphi_k(b)$), so gilt:

$$AI^{MOP} = AI^{MFP}$$

Beweis: Es bleibt zu zeigen, dass $a = (a_i, \dots, a_n) := (AI_1^{MOP}, \dots, AI_n^{MOP})$ ein Fixpunkt von T_Δ ist: $a = T_\Delta(a)$

$$T_\Delta(a) = (d_s, \bigsqcup_{i \in \underline{\text{Var}}(2)} \varphi_i(a_i), \dots)$$

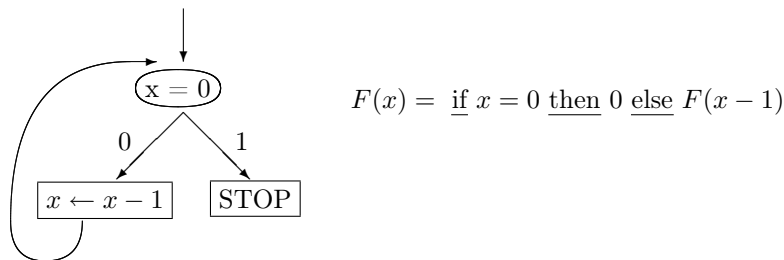
$$= (d_s, \bigsqcup_{i \in \underline{\text{Var}}(2)} \varphi_i(AI_i^{MOP}), \dots)$$

$$= (d_s, \bigsqcup_{i \in \underline{\text{Var}}(2)} \varphi_i(\bigsqcup_{p \in \underline{\text{Pfad}}[1, i]}), \dots)$$

$$= \text{ldots } \varphi_i \text{ distr} + \text{ACC} \Rightarrow \varphi(\bigsqcup T) = \bigsqcup \varphi_i(T)$$

[26.11.2004]

Nachtrag: Kleinster Fixpunkt



a) oper. Semantik $a \in \mathbb{Z}$:

$$a \geq 0: F(a) \rightarrow F(a - 1) \rightarrow F(a - 2) \dots F(0) \rightarrow 0$$

$$a < 0: F(a) \rightarrow F(a - 1) \rightarrow \dots$$

$$[\pi]_{op} = \lambda x. \underline{\text{if } x \geq 0 \text{ then } 0}$$

$$[\pi]_{op}(x) = \underline{\text{if } x \geq 0 \text{ then } 0}$$

b) Fp-Semantik $\lambda x.$

$\lambda x. \underline{\text{if } x = 0 \text{ then } 0}$

$\lambda x. \underline{\text{if } x = 0 \text{ then } 0 \text{ else}}$

$\underline{\text{if } x = 1 \text{ then } 0}$

$[\pi]_{fix} = \lambda x. \underline{\text{if } x \geq 0 \text{ then } 0}$

Weitere Fp:

$\lambda x. \underline{\text{if } x \geq 0 \text{ then } 0 \text{ else } A}$

Nachtrag zu Kap 3:

Lemma 4.4.8:

Sei $\mathcal{D} = \langle D, \leq \rangle$ ein vollständiger Verband mit ACC und $f : D \rightarrow D$.

Dann gilt: f distributiv ($f(a \sqcup b) = f(a) \sqcup f(b) \rightsquigarrow f(\sqcup T) = \sqcup f(T)$ für alle $T \subseteq D, T \neq \emptyset$)

Beweis:

Sei $T \subseteq D, T \neq \emptyset$.

1. f distributiv $\rightsquigarrow f$ monoton $\rightsquigarrow f(T) \leq f(\sqcup T) \rightsquigarrow \sqcup f(T) \leq f(\sqcup T)$

2. Bleibt zu zeigen: $f(\sqcup T) \leq \sqcup f(T)$

(*) Es existiert eine endliche Teilmenge $T_e \subseteq T$ mit $\sqcup(Z) \leq \sqcup T_e$

Konstruktion einer Kette in D : $a_0 \leq a_1 \leq \dots$

$a_0 \in T$ beliebig

$a_1 \rightarrow a_{n+1}$:

(a) $T \leq a_n \quad a_{n+1} := a_n$ (also: $a_{n+k} = a_n$)

(b) $T \not\leq a_n$ Dann existiert $b_n \in T$ mit $b_n \not\leq a_n$

$a_{n+1} := a_n \sqcup b_n (a_n < a_{n+1})$

ACC $\rightsquigarrow a_0 < a_1 < \dots < a_n = a_{n+1} = a_{n+2}$

$a_n = a_0 \sqcup a_0 \sqcup b_0 \sqcup b_1 \sqcup \dots \sqcup b_n$

und $T \leq a_n$, somit $\sqcup T \leq a_n = \underbrace{\sqcup \{a_0, b_n, \dots, b_n\}}_{=T_e}$

Damit folgt die Behauptung:

$f(\sqcup T) \leq f(a_n) = f(a_0 \sqcup b_1 \sqcup b_2 \dots \sqcup b_n)$

$= f(a_0) \sqcup f(b_1) \sqcup \dots \sqcup f(b_n) = \sqcup \{f(a_0), f(b_1), \dots, f(b_n)\} \leq \sqcup f(T)$.

Lemma 4.4.9: Doppelt indizierte Mengen

$\mathcal{D} = \langle D; \leq \rangle$ vollständiger Verband

$T = \{a_{i,j} \mid i \in I, j \in J\} \subseteq D$

$\sqcup_{i \in I, j \in J} a_{i,j} = \sqcup_{i \in I} \sqcup_{j \in J} a_{i,j}$

Beweis: trivial

$$AI_2^{p*i} = \varphi_i(AI_i^p)$$

Satz 4.4.7: (Fortsetzung)

$$\begin{aligned} &= (d_s, \bigsqcup_{i \in \text{Var}(2), p \in \text{Pfad}[1,i]} AI_k^{p*i}, \dots) \\ &= (d_s, \bigsqcup_{p^i \in \text{Pfad}[1,2]} AI_k^{p^i}, \dots, \bigsqcup_{p^i \in \text{Pfad}[1,n]} AI_n^{p^i}) \\ &= (a_1, \dots, a_n) = a \end{aligned}$$

□

[Folie: Beispiel: Common Subexpression Elimination]

[01.12.2004]

4.5 AE-Analyse und CS-Elimination für IC-Programme

Ziel: Vermeidung wiederholter Auswertung von Ausdrücken

Beachte: Ein Ausdruck ist für eine Anweisung verfügbar, wenn er auf jedem Berechnungspfad zu diese Anweisung berechnet wird und die Werte dieser Variablen danach nicht verändert werden.

AE-Analyse Zerlegung der Analyse mit Hilfe von Basisblöcken in

1. Globale Analyse für BB-Graph
2. Lokale Analyse für Basisblöcke

Aufgabe (für 1): Konstruktion eines geeigneten DFA-Systems

$$\Delta = \langle G, \mathcal{J} \rangle \text{ zu } \pi \in IC$$

[Folie: Beispiel: Common Subexpression Elimination]

G = BB-Graph für π für Vorwärtsanalyse

$$\mathcal{J} = \langle \mathcal{D}, \varphi, d_s \rangle$$

Programmausdrücke:

$$\text{OpExp}_\pi := \{e | e = f(u_1, \dots, u_r), \alpha_i = x \leftarrow e\} \cup \{be | be = p(u_1, \dots, u_r), \alpha_i = \text{if } be \text{ goto } \dots, r \geq 1\} = \{e_1, \dots, e_t\}$$

D := \mathbb{B} zur Darstellung von Teilmengen von OpExp_π

$$\bar{b} = (b_1, \dots, b_t)$$

$$b_i = \begin{cases} 0, & \text{falls } e_i \text{ verfügbar} \\ 1, & \text{sonst} \end{cases}$$

$$\bar{b} \leq \bar{b}' : \Leftrightarrow b_i \leq b'_i \quad i = 1, \dots, t \quad (0 < 1)$$

$$\perp = (0, \dots, 0) \text{ "beste Information"}$$

$$\top = (1, \dots, 1) \quad 0 \sqcup 1 = 1$$

$$(b_1, \dots, b_t) \sqcup (b'_1, \dots, b'_t) = (b_1 \sqcup b'_1, \dots, b_t \sqcup b'_t)$$

—

$$d_s = (1, \dots, 1)$$

—

Konstruktion von $\varphi : \underline{\text{Kno}} \rightarrow \{f : \mathbb{B}^t \rightarrow \mathbb{B}^t \mid \text{monoton}\}$

Zunächst für einzelne Anweisungen, dann für Blöcke: $\alpha \in \underline{\text{Anw}} \mapsto \varphi_\alpha : \mathbb{B}^t \rightarrow \mathbb{B}^t$

$$\begin{aligned} - \varphi_{x \leftarrow e} &:= \text{kill}_x \circ \text{gen}_e \\ \text{gen}_e(b_1, \dots, b_t) &:= (b'_1, \dots, b'_t) \end{aligned}$$

$$b'_i = \begin{cases} 0, & \text{falls } e = e_i \\ b_i, & \text{sonst} \end{cases}$$

$$\text{kill}_x(b_1, \dots, b_t)$$

$$b'_i = \begin{cases} 1, & \text{falls } x \in V_{e_i} \\ b_i, & \text{sonst} \end{cases}$$

$$\begin{aligned} - \varphi_{\text{gotok}} &:= \text{id}_{\mathbb{B}^t} \\ - \varphi_{\text{if } be \text{ goto } k} &:= \text{gen}_{be} \end{aligned}$$

Beachte: φ_α monoton, weil alle gen- und kill-Funktionen monoton sind

Konstruktion der Blocktransformationen

$\beta = \alpha_1; \dots; \alpha_k$ ($k > 0$, weil Sprungbefehle bleiben)

$\varphi_\beta := \varphi_{\alpha_k} \circ \dots \circ \varphi_{\alpha_1}$ monoton

Für dieses DFA-System $\Delta = \langle G, \mathcal{J} \rangle$ gilt: $AE_\beta^{MOP} = AE_\beta^{MFP}$ für alle $\beta \in \underline{\text{Kno}}$

(AE “available expression“ statt AI “Analyseinformation“)

→ distributive Funktionen!

Grund: alle φ_β sind distributiv

$$\text{gen}_{e_i}(b) \sqcup \text{gen}_{e_i}(b') = (b_1, \dots, \overset{0}{i} \dots b_t) \sqcup (b'_1, \dots, \overset{0}{i} \dots b'_t)$$

$$\text{gen}_i(b \sqcup b') = (b_1, \sqcup b'_1, \dots, \overset{0}{i} \dots b_t \sqcup b'_t)$$

$$\underline{\text{OpExp}}_\pi := \{\underbrace{x+y}_1, \underbrace{x*z}_2, \underbrace{t*t}_3, \underbrace{z*2}_4, \underbrace{i+1}_5, \underbrace{z > t}_6, \underbrace{i > 0}_7\}$$

$$D = \mathbb{B}^7$$

$$\varphi_1(b_1, \dots, b_7) = (b_1, \dots, b_7)$$

$$\varphi_2(b_1, \dots, b_7) = (0, 0, 0, 1, 1, 1, 1)$$

$$\varphi_3(b_1, \dots, b_7) = (0, 1, b_3, 1, b_5, 0, b_7)$$

$$\varphi_4(b_1, \dots, b_7) = (b_1, 0b_3, \dots, b_7)$$

$$\varphi_5(b_1, \dots, b_7) = (b_1, b_2, 0, \dots, b_7)$$

$$\varphi_6(b_1, \dots, b_7) = (b_1, \dots, b_4, 1, b_6, b_7)$$

$$(E_{\Delta}) \begin{cases} X_1 = (1, \dots, 1) \\ X_2 = X_1 \\ X_3 = (0, 0, 0, 1, 1, 1, 1) \sqcup \varphi_6(X_2) \\ X_4 = \varphi_3(X_3) \\ X_5 = \varphi_3(X_4) \\ X_6 = \varphi_4(X_5) \sqcup \varphi_5(X_6) \end{cases}$$

Vereinfachung: $X_3 = (0, 0, 0, 1, 1, 1, 1) \sqcup \varphi_6([\varphi_4 \sqcup \varphi_5]\varphi_3(X_3))$

$\varphi_6([\varphi_4 \sqcup \varphi_5]\varphi_3(b_1, \dots, b_7)) = (0, 1, b_3, 1, 1, 0, 0)$

Fixpunkt-Iteration für (*) beginnt mit dem besten Wert $\perp = (0, \dots, 0) \in \mathbb{B}^7$

$$T_{(*)}^1(\perp) = (0, 1, 0, 1, 1, 1, 1) = T_{(*)}^2(\perp)$$

[08.12.2004]

[Folie: Beispiel: Common Subexpression Elimination]

Fixpunkt-Iteration für (*):

$$\perp = (0, \dots, 0) \in \mathbb{B}^7$$

$$T_{(*)}(\perp) = (0, 0, 0, 1, 1, 1, 1) \sqcup (0, 1, 0, 1, 1, 0, 0) = (0, 1, 0, 1, 1, 1, 1)$$

$$T_{(*)}(\perp) = (0, 0, 0, 1, 1, 1, 1) \sqcup (0, 1, 0, 1, 1, 0, 0) = (0, 1, 0, 1, 1, 1, 1)$$

$$\text{fix}(T_{(*)}) = (0, 1, 0, 1, 1, 1, 1)$$

$$\underline{\text{Ergebnis:}} \quad AE_1 = (1, \dots, 1)$$

$$AE_2 = (1, \dots, 1)$$

$$AE_3 = (0, 1, 0, 1, 1, 1, 1)$$

$$AE_4 = (0, 1, 0, 1, 1, 0, 1)$$

$$AE_5 = (0, 1, 0, 1, 1, 0, 1)$$

$$\varphi_3(b_1, \dots, b_7) = (0, 1, b_3, 1, b_5, 0, b_7)$$

$$\varphi_4(b_1, \dots, b_7) = (b_1, 0, b_3, \dots)$$

$$\varphi_5(b_1, \dots, b_7) = (b_1, b_2, 0, b_4, \dots)$$

$$\rightarrow AE_6 = AE_4 = (0, 1, 0, 1, 1, 0, 1)$$

Folgerung 4.5.0:

$x + y$, $t * t$ verfügbar in Block 3, 4, 5, 6

$z > t$ verfügbar in Block 4, 5, 6

Beachte:

1. Gabs schon... $x * z$ bereits für B3 nicht verfügbar, weil B3 von B2 und B6 erreichbar (Ohne B5 wäre $x * z$ für B3 verfügbar)

2. Lokale analysen für Basisblöcke

Unterschied zur AE-Analyse an SLC-Programmen

Neue Startinformationen: nicht mehr $(1, \dots, 1)$

sondern die durch globale Analyse gewonnenen Informationen AE_i für Block i ($i = 1, \dots, 6$ im Beispiel)

- CS-Elimination
 $T_{CS} : SLC \rightarrow SLC$ übertragen
 Zwischenspeichern auf temporären Variablen

4.6 RD-Analyse und Konstantenfaltung

Ziel: Ersetze konstante Variablen und konstante Ausdrücke auf rechten Seiten von Wertzuweisungen und in Bedingungen durch ihre Werte (Propagation und Faltung)

Definition 4.6.1:

Sei $\pi \in IC$ mit Interpretation $\mathbf{a} = \langle A, \varphi \rangle$, $v \in V_\pi$, $i \in L_\pi$ und $a \in A$.

Dann hat v bei i den konstanten Wert a (Bez.: $konst(v, i) = a$), falls dies auf jedem Berechnungspfad von i gilt.

Beachte i kann auf verschiedenen Berechnungspfaden (verschiedene Eingaben) und mehrfach auf einem Berechnungspfad erreicht werden.

Satz 4.6.2:

Die Konstanzeigenschaft von Variablen eines $\pi \in IC$ ist i.a. nicht entscheidbar (i.a. bei entsprechender Wahl der Interpretation)

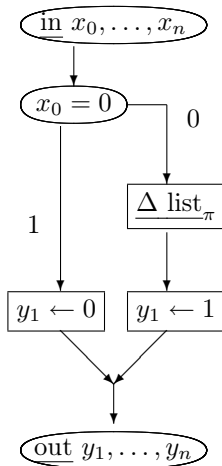
Beweis Angenommen, die Konstanz-Eigenschaft wäre für alle Interpretationen entscheidbar.

Interpretation: $\mathbf{a} = \langle \mathbb{N}, +1, 0, 0? \rangle$

$IC(\mathbf{a})$ universell (jede beliebige Funktion darstellbar)

Sei $\pi \in IC(\mathbf{a})$, $IV_\pi = \{x_1, \dots, x_n\}$, $OV_\pi = \{y_1, \dots, y_m\}$

Neues Programm: $\pi_{const} \in IC(\mathbf{a})$:



Dann gilt: $\underline{const}(y_1, i) = 0 \curvearrowright \pi$ divergiert

[10.12.2004]

[Folie:
 stem????]

Gleichungssy-

[Folie: Nicht-entscheidbarkeit der Konstanzeigenschaft] $\sqcup \hat{=} \cap$
 $const(y_1, 0) \rightsquigarrow \pi$ divergiert, d.h. bei keiner Eingabe terminiert
 Entscheidbarkeit der Konstanzeigenschaft \rightsquigarrow Entscheidbarkeit der Divergenz
 von $\pi \rightsquigarrow$ Entscheidbarkeit des Halteproblems von π

[Folie: Reaching Definitions Analyse und Konstantenfaltung] RD-Analyse
 (Modifikation von π durch Zuweisung der Eingabewerte an Eingabevariablen)
Methode 2-stufige Berechnung

1. Bestimme für jeden Basisblock von $\pi \in IC$ die Länge der am Blockanfang konstanten Variablen mit ihrem Wert (globale Analyse)
2. Bestimme aus dieser Information die entsprechenden Informationen für die Anweisungen der Basisblöcke

Zu (1): Konstruktion eines DFA-Systems $\Delta = \langle G, \mathfrak{J} \rangle$
 Konstruktion von $\mathfrak{J} = \langle \mathcal{D}, d_s, \varphi \rangle$

$$v_\pi = \{v_1, \dots, v_k\}$$

$$\text{Bsp: } \left\{ \underbrace{u}_1, \underbrace{u}_1, \underbrace{v}_2, \underbrace{x}_3, \underbrace{y}_4, \underbrace{z}_5 \right\}$$

$$D = (a \cup \{\perp, \top\}) \dots A$$

$d_j = a$ bedeutet: v_j hat den Wert d_j

$d_j = \top$ bedeutet v_j hat mehrere Werte

$d_j = \perp$ bedeutet ? (irgendein Wert, unbekannt)

Beispiel 4.6.3:

$$D = (\mathbb{Z}, \cup \{\perp, \top\})^5 (\perp, 4, 5, 6, 7) \sqcup (1, 4, 2, 1, 7) = (1, 4, \top, \top, 7)$$

$$d_s = \underbrace{(\top, \top, \dots, \top)}_{\text{Eingabevar.}} \underbrace{(\perp, \dots, \perp)}_{\text{brigeVar.}} \text{ Startinformation}$$

Konstruktion der monotonen Blocktransformation $\varphi_i : \hat{A}^k \rightarrow \hat{A}$

Zunächst: Anweisungstransformation $\varphi_\alpha : \hat{A}^k \rightarrow \hat{A}^k$

Dazu: erweitere Ausdrucksemantik (vgl. SLC)

$$e \in V \cup C \cup \{f(u_1, \dots, u_r) \mid f \in \Sigma^{(r)}, u_i \in V \cup C\}$$

$$d \in \hat{A}^k$$

$[e]_a(d) \in \hat{A}$ wobei

$$f_a(\dots, \perp, \dots) = \perp \text{ z.B. } 3 + \perp = \perp$$

$$f_a(\dots, \top, \dots) = \top \text{ z.B. } 4 * \top = \top$$

$$f_a(\dots, \top, \dots, \top, \dots) = \top$$

$$\varphi_{x \leftarrow e}(d_1, \dots, d_k) = (d'_1, \dots, d'_k)$$

$$d'_j = \begin{cases} [e]_a(d_1, \dots, d_k), & \text{falls } x = v_j \\ d_j, & \text{sonst} \end{cases}$$

Blocktransformation: Komposition der Anweisungstransformationen

Beispiel 4.6.4:

$$V_\pi = \left\{ \underbrace{u}_1, \underbrace{u}_1, \underbrace{v}_2, \underbrace{x}_3, \underbrace{y}_4, \underbrace{z}_5 \right\}$$

$$\varphi_1(d_1, \dots, d_5) = (d_1, \dots, d_5)$$

$$\varphi_2(d_1, \dots, d_5) = (d_1, d_2, 1, 1, 1)$$

$$\varphi_3(d_1, \dots, d_5) = (d_1, \dots, d_5)$$

$$\varphi_4(d_1, \dots, d_5) = (d_3 + d_4 + d_5, d_2 \dots d_5)$$

$$\varphi_5(d_1, \dots, d_5) = (d_1, d_2, d_4 + 2, d_4, d_5)$$

$$\varphi_6(d_1, \dots, d_5) = (d_1, \dots, d_5)$$

φ_i monoton, weil alle erweiterten Grundfunktionen \hat{f}_a monoton

Bestimmung der MFP-Lösung von $\Delta = \langle G, \mathcal{J} \rangle$

Datenflussgleichungen:

Beispiel 4.6.5:

$$(E_\Delta) \begin{cases} X_1 = d_1 \\ X_2 = \varphi_1(X_1) \\ X_3 = \varphi_2(X_2) \sqcup \varphi_6(X_6) \\ X_4 = \varphi_3(X_3) \\ X_5 = \varphi_4(X_4) \\ X_6 = \varphi_4(X_4) \sqcup \varphi_5(X_5) \end{cases}$$

$$X_1 = (\top, \top, \top, \top, \top)$$

$$X_2 = (\top, \top, \top, \top, \top)$$

$$(*) X_3 = (\top, \top, 1, 1, 1) \sqcup \varphi_6([\varphi_4 \sqcup \varphi_5 \circ \varphi_4](X_3))$$

$$X_4 = X_3$$

$$X_5 = \varphi_4(X_3)$$

$$X_6 = [\varphi_4 \sqcup \varphi_5 \circ \varphi_4](X_3)$$

$$[\varphi_5 \circ \varphi_4](d_1, \dots, d_5) = (d_3 + d_4 + d_5, d_2, d_4 + 2, d_4, d_5)$$

$$\varphi_4 \sqcup [\varphi_5 \circ \varphi_4](d_1, \dots, d_5) = (d_3 + d_4 + d_5, d_2, d_3 \sqcup (d_4 + 2), d_4, d_5)$$

$$\varphi_6(\varphi_4 \sqcup [\varphi_5 \circ \varphi_4])(d_1, \dots, d_5) = (d_3 + d_4 + d_5, (d_3 \sqcup (d_4 + 2)) + d_4, d_3 \sqcup (d_4 + 2), d_4, d_5)$$

Fp-Iteration für Gleichung (*)

$$T_{(*)}(\perp, \dots, \perp) = (\perp, \dots, \perp)$$

$$T_{(*)}^1(\perp, \dots, \perp) = (\top, \top, 1, 1, 1)$$

$$T_{(*)}^2(\perp, \dots, \perp) = (\top, \top, \top, 1, 1)$$

$$T_{(*)}^3(\perp, \dots, \perp) = (\top, \top, \top, 1, 1)$$

$$\text{Also: } \text{fix}(T_{(*)}) = (\top, \top, \top, 1, 1)$$

MFP-Lösung von Δ

$$RD_1^{MFP} = (\top, \top, \dots, \top)$$

$$RD_2^{MFP} = (\top, \top, \dots, \top)$$

$$RD_3^{MFP} = (\top, \top, \top, 1, 1)$$

$$RD_4^{MFP} = (\top, \top, \top, 1, 1)$$

$$RD_5^{MFP} = (\top, \top, \top, 1, 1)$$

$$RD_6^{MFP} = (\top, \top, \top, 1, 1)$$

[08.12.2004]

[Folie: Reaching Definitions Analyse und Konstantenfaltung]

[Folie: RD^{MFP} : Transferfunktionen und Gleichungssystem]

Die Variablen y und z haben bei Eintritt in die Blöcke 3, 4, 5, 6 den konstanten Wert 1.

Lokale Analyse

SLC-Analyse von Block i mit der Startinformation RD_i^{MFP} ($i = 1, \dots, k$) hier $k = 6$

Optimierung

Konstantenfaltung wie bei SLC

Frage $RD^{MOD} = RD^{MFP}$?

Knotentransformationen φ_i distributiv?

Satz 4.6.6:

Es gibt ein $\pi \in IC$ mit $RD^{MOP} \neq RD^{MFP}$

[Folie: $RD^{MOP} \neq RD^{MFP}$]

Beweis:

$$V_\pi = \{x, y, z\} \quad D = \widehat{\mathbb{Z}}^3$$

$$\varphi_1(d_1, d_2, d_3) = (d_1, d_2, 0)$$

$$\varphi_2(d_1, d_2, d_3) = (2, 3, d_3)$$

$$\varphi_3(d_1, d_2, d_3) = (3, 2, d_2)$$

$$\varphi_4(d_1, d_2, d_3) = (d_1, d_2, d_1 + d_2)$$

$$RD_5^{MOP} = (2, 3, 5) \sqcup (3, 2, 5) = (\top, \top, 5)$$

$$RD^{MFP} X_1 = (\top, \top, \top)$$

$$X_2 = \varphi_1(X_1) = (\top, \top, 0)$$

$$X_3 = \varphi_1(X_2) = (\top, \top, 0)$$

$$X_4 = \varphi_2(X_3) \sqcup \varphi_3(X_3) = (2, 3, 0) \sqcup (3, 2, 0) = (\top, \top, 0)$$

$$X_5 = \varphi_4(X_4) = (\top, \top, \top)$$

$$\text{Also: } RD_5^{MFP} = (\top, \top, \top) \stackrel{>}{\neq} RD_5^{MOP}$$

□

Grund: φ_4 nicht distributiv

$$\varphi_4(d \sqcup d') \neq \varphi_4(d) \sqcup \varphi_4(d') \text{ für } d = (2, 3, z) \quad d' = (3, 2, z)$$

Insgesamt gilt:

$$\text{falls Block 2 bei } z = 0 \text{ Sprungziel } RD_5 = (2, 3, 5) < RD_5^{MOP} < RD_5^{MFP}$$

[Folie: Nicht-Entscheidbarkeit der Konstanteninformationen RL]

Satz 4.6.7:

Die Pfaddefinierten Konstanteninformationen RD_i^{MOP} ($i = 1, \dots, k$) sind i.a. nicht entscheidbar.

Beweis:

Wären die Mengen RD_i^{MOP} immer entscheidbar, so auch das MPCP ("modifiziertes Postsches Korrespondenzproblem") und damit das PCP.

MPCP: sei Σ Alphabet, $n \in \mathbb{N}$ und $u_1, v_1, \dots, u_n, v_n \in \Sigma^*$

Gibt es $i_1, \dots, i_m \in \{1, \dots, n\}$, $m \geq 1$ mit $i_1 = 1$ ("modifiziertes PCP"), so dass

$$u_{i_1} u_{i_2} u_{i_3} \dots u_{i_m} = v_{i_1} v_{i_2} \dots v_{i_m}$$

Es gilt (z.B. Schönig, Theoretische Informatik): Das MPCP ist nicht entscheidbar

[Folie: Nicht-Entscheidbarkeit der Konstanteninformationen RL]

mit der Interpretation $\langle A; \varphi \rangle$

$$A := \Sigma^* \quad \varphi(++) (u, v) := uv$$

$$\varphi(=) (u, v) := \begin{cases} \mathcal{E} & \text{falls } u \neq v \\ a & \text{falls } u = v \quad (a \in \Sigma) \end{cases}$$

Dann folgt: Jeder Pfad von Startknoten nach k entspricht einer Indexfolge i_1, \dots, i_m mit $i_1 = 1$ und umgekehrt

Also: $RD_k^{MOP}(Z) = \mathcal{E} \curvearrowright \curvearrowright MPCP(u_1, v_1, \dots, u_n, v_n)$ hat keine Lösung.

Somit: Entscheidbarkeit der $RD_i^{MOP} \curvearrowright$ Entscheidbarkeit von $MPCP(u_1, v_1, \dots, u_n, v_n)$

Widerspruch $\not\zeta$

□

Zusammenfassung:

1. $RD \leq RD^{MOP} \leq RD^{MFP}$
2. $RD < RD^{MOP} < RD^{MFP}$
3. RD und RD^{MOP} i.a. nicht entscheidbar

4.7 Effiziente Fp-Berechnung

Δ DFA-System $T_\Delta : D^n \rightarrow D^n$

MFP-Lösung von Δ

$AI^{MFP} = \underline{\text{fix}}(T_\Delta) \in D^n$

T_Δ stetig $\curvearrowright \underline{\text{fix}}(T_\Delta) = \bigsqcup_{i=0}^{\infty} T_\Delta^i(\perp)$

$\mathcal{D} = \langle D; \leq \rangle$ mit $\text{acc} \curvearrowright \underline{\text{fix}}(T_\Delta) = \bigsqcup_{i=0}^m T_\Delta^i(\perp) = T_\Delta^m(\perp)$

[17.12.2004]

Statt gleichmässiger Fp-Iteration komponentenweise Iteration

Definition 4.7.1:

Eine Folge $I = (i_1, i_2, \dots)$ mit $i_j \in \{1, \dots, n\}$ heisst fair, wenn für jedes $j \in \mathbb{N}$ und jedes $i \in \{1, \dots, n\}$ ein $m \in \mathbb{N}$ existiert mit $i = i_{j+m}$.

Mit anderen Worten: In einer fairen folge kommt jeder Index unendlich oft vor.

Beispiel 4.7.2:

$(1, \dots, n, 1, \dots, n, \dots)$

Ein Index i bestimmt für $T_\Delta : D^n \rightarrow D^n$ die Komponentenfunktion $g_i : D^n \rightarrow D^n$

mit $g_i(d_1, \dots, d_n) = (d^1, \dots, d^n)$

wobei $d^i := \text{proj}_i(\Delta(d_1, \dots, d_n))$

und $d^j := d_j$ für $j \neq i$ (Berechnung durch i -te Gleichung)

Satz 4.7.3: Chaotische Fp-Iteration

Sei $\mathcal{D} = \langle D, \leq \rangle$ ein vollständiger Verband und $T : D^n \rightarrow D^n$ stetig

Dann gilt für eine faire Indexfolge $I = (i_1, i_2, \dots)$ mit $i_j \in \{1, \dots, n\}$

$\underline{\text{fix}}(T) = \bigsqcup \{g_{i_j}(g_{i_{j-1}}(\dots(g_{i_1}(\perp))\dots)) \mid j \in \mathbb{N}\}$

Frage: Ist diese Folge monoton wachsend?

Beweis des Fp-Satzes: $\perp \leq T(\perp) \leq T^2(\perp) \leq \dots$

kann hier nicht angewandt werden: $\perp \leq g_{i_1}(\perp) \leq g_{i_2}(g_{i_1}(\perp))$

Beweisskizze:

$g_{i_j}(\dots g_{i_1}(\perp) \dots) \leq T^j(\perp)$

$\curvearrowright \bigsqcup \{g_{i_j}(\dots g_{i_1}(\perp) \dots) \mid j \in \mathbb{N}\} \leq \bigsqcup \{T^j(\perp) \mid j \in \mathbb{N}\} = \underline{\text{fix}}(T)$

Wegen Fairness: Zu jedem $j \in \mathbb{N}$ existiert k_j , so dass in (i_1, \dots, i_{k_j}) jeder Index mindestens j -mal vorkommt.

$\curvearrowright T^j(\perp) \leq g_{i_{k_j}}(\dots (g_{i_1}(\perp) \dots))$

$\underline{\text{fix}}(T) = \bigsqcup \{T^j(\perp) \mid j \in \mathbb{N}\} \leq \bigsqcup g_{i_{k_j}}(\dots g_{i_1}(\perp) \dots)$

□

Folgerung 4.7.3:

Besitzt \mathcal{D} die arc-Eigenschaft, dann existiert eine endliche Indexfolge i_1, \dots, i_k , so dass $\underline{\text{fix}}(T) = g_{i_k}(\dots g_{i_1}(\perp) \dots)$

Problem: Bestimmung einer möglichst kurzen Indexfolge

Worklist-Algorithmus

Komponentenfunktionen $g_i : D^n \rightarrow D^n$ weiter zerlegen: $g_i(d_1, \dots, d_n) = (d^i_1, \dots, d^i_n)$

$d^i_i = \text{proj}_i(T_\Delta(d_1, \dots, d_k)) = \bigsqcup \{\varphi_j(d_j) \mid j \in \underline{\text{Var}}(i)\}$

$d^i_k = d_k$ für $k \neq i$

Rechenschritte: $\varphi_j(d_j)$ durch Flussregeln steuern

Eingabe: $\Delta = \langle G, \mathcal{J} \rangle$ mit $G = \langle \underline{\text{Kno}}, \underline{\text{Kan}}, s \rangle$ und $\mathcal{J} = \langle \mathcal{D}, \varphi, d_s \rangle$ $\underline{\text{Kno}} = \{s = 1, 2, \dots, n\}$

Verfahren:

var k, k' : $\underline{\text{Kno}}$;

var AI : $\text{array}[1 \dots n]$ of D

var W : list of Kan %Worklist für Rechenschritt

Start $\text{AI}[1] := d_s$

$\text{AI}[j] := \perp_D$ für $j = 2, \dots, n$;

$\text{W} := \text{nil}$;

for all $(j, l) \in \underline{\text{Kan}}$ **do**

$\text{W} := \text{cons}((j, l), \text{W})$;

end for

Iteration % φ_j als Rechenschritt

while $\text{W} \neq \text{nil}$ **do**

$k := \text{fst}(\text{head}(\text{W}))$;

$k' := \text{snd}(\text{head}(\text{W}))$;

$\text{W} := \text{tail}(\text{W})$;

if $\varphi_k(\text{AI}[k]) \not\leq \text{AI}[k']$ **then**

$\text{AI}[k'] := \text{AI}[k'] \sqcup \varphi_k(\text{AI}[k])$;

for all $k'' \text{ with } (k', k'') \in \underline{\text{Kon}}$, but $\text{not}(k', k'') \in \text{W}$ **do**

$\text{W} := \text{cons}((k', k''), \text{W})$;

end for

end if

end while

end while

Ausgabe: $AI = (AI[i], \dots, AI[n])$

Beispiel 4.7.4: AE-Analyse

$$\text{OpExp}_\pi = \underbrace{\{x + y\}}_1, \underbrace{\{x * z\}}_2, \underbrace{\{t * t\}}_3, \underbrace{\{z * 2\}}_4, \underbrace{\{i + 1\}}_5$$

$$D = \mathbb{B}^5$$

$$W = (1, 2)(2, 3)(3, 4)(3, 5)(4, 6)(5, 6)(6, 3)$$

W	RD[1]	RD[2]	RD[3]	RD[4]	RD[5]	RD[6]
(1, 2) ...	(1, ..., 1)	(0, ..., 0)	(0, ..., 0)	(0, ..., 0)	(0, ..., 0)	(0, ..., 0)
(2, 3) ...		(1, ..., 1)	(0, 0, 0, 1, 1)	(0, 1, 0, 1, 1)	(0, 1, 0, 1, 1)	(0, 0, 0, 1, 1)
(3, 4) ...			(0, 1, 0, 1, 1)	(0, 1, 0, 1, 1)	(0, 1, 0, 1, 1)	(0, 1, 0, 1, 1)
(3, 5) ...						
(4, 6) ...						
(5, 6) ...						
(1, 2) ...						
(1, 2) ...						

[22.12.2004]

4.8 Live Variable Analyse und Dead Code Elimination für IC-Programm

Definition 4.8.1:

Sei $\pi \in IC$, $x \in V_\pi$, $i \in L_\pi$.

Dann heisst x lebendig in i , falls $p \in \text{Pfad}[i, q + 1]$ existiert, so dass x auf p benutzt wird (rechte Seite einer Zuweisung oder Test oder Ausgabevariable), ohne vorher neu definiert zu werden.

Aufgabe: Bestimme für jeden Programmpunkt $i \in L_\pi$ die Menge LV_i der lebendigen Variablen.

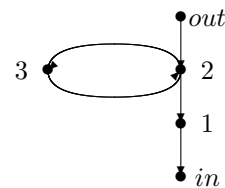
Hier: Verbesserung (s. SLC): Bestimmung der NV_i (needed Variables)

Beachte Wertzuweisungen mit toter linker Seite bilden Dead Code.

Konstruktion eines DFA-Systems $\Delta = \langle G, \mathcal{J} \rangle$

Rückwärtsanalyse:

Datenflussgraph G ("Rückwärts-BB-Graph")



$$\mathcal{D} = \langle P(V_\pi); \subseteq \rangle$$

Blocktransformationen:

$$\varphi_i : P(V_\pi) \rightarrow P(V_\pi)$$

[Folie: Dead Code Elimination]

in Block i : $\alpha_1; \dots; \alpha_k$

$$\varphi_i := \varphi_{\alpha_1} \circ \dots \circ \varphi_{\alpha_k}$$

wegen Rückwärtsanalyse.

Anweisungstransformation $t_\alpha : P(V_\pi) \rightarrow P(V_\pi)$

- $\alpha = v \leftarrow e$
 $t_{v \leftarrow e}(M) := \underline{\text{if}} \ v \in M \ \underline{\text{then}} \ M/\{v\} \cup V_e \ \underline{\text{else}} \ M$
- $\alpha = \underline{\text{if be goto}} \ l$
 $t_\alpha(M) := M \cup V_{be}$
- $\alpha = \underline{\text{goto}} \ l$
 $t_\alpha(M) = M$

Zusätzlich für Ausgabeknoten:

$$\varphi_{out}(M) := ov_\pi$$

Startinformation: $d_s = \emptyset$

$$\begin{aligned}
 E_\Delta X_{out} &= d_s \\
 X_2 &= \varphi_{out}(X_{out}) \sqcup \varphi_3(X_3) \\
 X_3 &= \varphi_2(X_2) \\
 X_1 &= \varphi_2(X_2) \\
 X_{in} &= \varphi_1(X_1) \\
 \varphi_1(M) &= M - w \\
 &\quad - u + y \quad \text{falls } u \in M \\
 &\quad + x \quad \text{falls } v \in M \\
 &\quad - v + (x, y) \quad \text{falls } v \in M \\
 &= M - w \\
 &\quad - u + y \quad \text{falls } u \in M \\
 &\quad - v + (x, y) \quad \text{falls } v \in M \\
 \varphi_2(M) &= M - z + (u, v) \\
 \varphi_3(n) &= M - z + (u, v) \quad \text{falls } z \in M \\
 &\quad - v + w \quad \text{falls } v \in M
 \end{aligned}$$

Berechnung von NV^{MFP} nach Worklist-Algorithmus

W	NV_{out}	NV_1	NV_2	NV_3	NV_{in}
(out, 2), (2, 3), (3, 2), (2, 1), (1, in)	$d_s = \emptyset$	\emptyset	\emptyset	\emptyset	\emptyset
(2, 3), (3, 2), (2, 1), (1, in)			z		
(3, 2), (2, 1), (1, in)			u, w, z	u, v	
(2, 1), (1, in)				u, v, v	
(3, 2), (2, 1), (1, in)					
(3, 2), (2, 1), (1, in)					
(2, 1), (1, in)		u, v, w			
(1, in)					x, y

4.8. LIVE VARIABLE ANALYSE UND DEAD CODE ELIMINATION FÜR IC-PROGRAMM47

Ergebnis der globalen NV-Analyse

$$NV_1^{MFP} = \{u, v, w\}$$

$$NV_2^{MFP} = \{u, w, z\}$$

$$NV_3^{MFP} = \{u, v, w\}$$

$$NV_4^{MFP} = \{x, y\}$$

$$\varphi_i \text{ distributiv: } \varphi(M \cup M') = \varphi_i(M) \cup \varphi_i(M')$$

$$\curvearrowright NV^{MOP} = NV^{MFP} \curvearrowright \text{Dead Code Optimierung (vgl. SLC)}$$

[12.01.2005]

Kapitel 5

Kontrollflussanalyse und Schleifenoptimierung

Sei $\pi \in IC$

Ausnutzung der Schleifenstruktur des Flussgraphen.

G_π (SI / vorwärts)

- schnellere Fp-Berechnung (Schleifen)
- Schleifenoptimierung (grosser Einfluss)
 - a) Code Motion (verschieben von schleifeninvarianten Anweisungen vor die Schleife)
 - b) Elimination von Induktionsvariablen (gleiche Wertprogression von mehreren Variablen nur auf einer Variablen durchführen)

5.1 Schleifenanalyse von Flussgraphen

Flussgraphen eines strukturierten Quellprogramms

Baum mit Rücksprüngen:

[Folie: Beispiele für Flussgraphen]

- while-Schleifen: 1 Eingang = Ausgang
- repeat-exit i-Schleifen: 1 Eingang - mehrere Ausgänge (Java: break, continue Anweisungen)

Flussgraph G_1

Schleifen: $\{1, 2, 3\}$, $\{5, 7\}$, (aber nicht: $\{1, 5, 7, 6, 8\}$), $\{1, 5, 7, 6, 8\}$, $\{1, 2, 3, 5, 6, 7, 8\}$)

Beachte: Jede Schleife hat genau einen Anfangsknoten, welcher vom Startknoten ausserhalb der Schleife erreichbar ist. hier: 1 bzw. 5.

Flussgraph G_2

Schleifen: keine, weil $\{2, 3\}$ 2 Anfangsknoten besitzt

Definition 5.1.1:

Sei $G = \langle \underline{Kno}, \underline{Kan}, s \rangle$ ein Flussgraph ($\underline{Vor}(s) = \emptyset$, und $\underline{Pfad}[s, k] \neq \emptyset$ für alle $k \in \underline{Kno}$) falls gilt:

1. S ist stark zusammenhängend, d.h. für alle $k, k' \in S$ mit $k \neq k'$ existiert $p \in \underline{Kno}(p) \subseteq S$, und
2. Es existiert genau ein $k \in S$, so dass $\underline{Vor}(k) \setminus S \neq \emptyset$. k heisst Anfang von S .

Beachte: Es muss $p \in \underline{Pfad}[s, k)$ existieren mit $\underline{Kno}(p) \cap S = \emptyset$

Aufgabe: Bestimmung der Schleifen von Flussgraphen

Hilfsmittel: Dominatorrelation auf Knoten

Definition 5.1.2:

$G = \langle \underline{Kno}, \underline{Kan}, s \rangle$ ein Flussgraph und $k, k' \in \underline{Kno}$.

- k' dominiert k (Bezeichnung: $k' \text{ dom } k$) : \curvearrowright für jedes $p \in \underline{Pfad}[s, k]$ gilt: $k' \in \underline{Kno}(p)$
- k' dominiert k direkt \curvearrowright $k' \text{ dom } k$, $k' \neq k$, für alle k'' gilt: $k'' \text{ dom } k$, $k'' \neq k \curvearrowright k'' \text{ dom } k'$

Beispiel 5.1.3:

Flussgraph G_3

- $s \text{ dom } k$, $k \text{ dom } k$ für alle $k \in \underline{Kno}$
- $2 \text{ dom } k \curvearrowright$
- Dominatoren von 8: $(s), 1, 3, 4, 7, (8)$
- $4 \text{ dom } 7$ direkt

Folgerung 5.1.3:

Jeder Knoten k , $k \neq s$ besitzt genau 1 direkten Dominator.

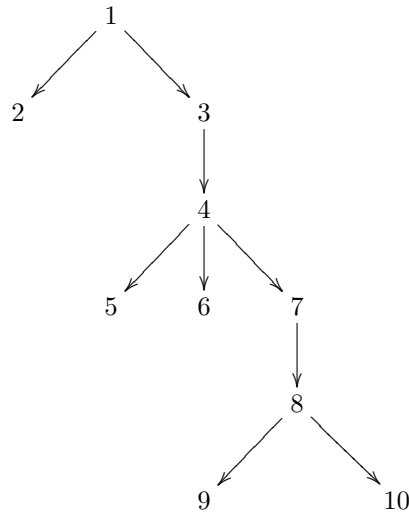
Grund: Die Dominatoren von k sind linear geordnet

Folgerung 5.1.3:

Baumdarstellung der Dominatorenrelation:

Beispiel 5.1.4:

Dominatorbaum von G_3 :

**Definition 5.1.5:**

$(b, a) \in \underline{\text{Kan}}$ heisst Rückwärtskante, falls $a \text{ dom } b$

Lemma 5.1.6:

Sei (b, a) eine Rückwärtskante und $S := \{k \in \underline{\text{Kno}} \mid \text{es existiert } p \in \underline{\text{Pfad}}[k, b] \text{ mit } a \notin \underline{\text{Kno}}(p)\}$

Dann ist $S \cup \{a\}$ eine Schleife mit Anfang a .

Beweis: [Grafik] Sei $k \in S$ und $p \in \underline{\text{Pfad}}[a, b]$ mit $a \neq \underline{\text{Kno}}(p)$

Sei $p' \in \underline{\text{Pfad}}[s, k]$. Also $p'p \in \underline{\text{Pfad}}[s, b]$. $a \text{ dom } b \curvearrowright a \in \underline{\text{Kno}}(p'p) \curvearrowright a \in \underline{\text{Kno}}(p')$

\curvearrowright es existiert $p'' \in \underline{\text{Pfad}}[a, k]$ mit $a \notin \underline{\text{Kno}}(p'')$ so dass $\underline{\text{Kno}}(p'') \subseteq S$

Es folgt:

1. $S \cup \{a\}$ ist stark zusammenhängend: $k, k' \in S \cup \{a\}$

$$k \rightarrow a \rightarrow k'$$

2. a ist Anfang von $S \cup \{a\}$: Da $\underline{\text{Var}}(s) = \emptyset$, so muss $a \neq a$

Sei $p \in \underline{\text{Pfad}}[s, a]$ mit $a \notin \underline{\text{Kno}}(p)$. Da $a \text{ dom } k$ für alle $k \in S$, so folgt $\underline{\text{Kno}}(p) \cap S = \emptyset$ und auch die Eindeutigkeit von a , weil S unter Vorgängerabschluss abgeschlossen.

□

Bemmerkung $S \cup \{a\}$ heisst natürliche Schleife von (b, a)

Beispiel 5.1.7:

G_3 Die natürliche Schleife um $(4,3)$ ist $\{3, 4, 5, 6, 7, 8, 10\}$

Aufgabe: Bestimmung der Rückwärtskanten und ihrer natürlichen Schleifen

[14.01.2005]

[Folie: Beispiele für Flussgraphen]

Idee: dom-Relation \leadsto Rückwärtskanten

Vorgängerrelation \leadsto natürliche Schleife

Flussgraphen von strukturierten Programmen besitzen nur natürliche Schleifen

Definition 5.1.8: Reduzierbarer Flussgraph

Ein Flussgraph $G = \langle \underline{Kno}, \underline{Kan}, s \rangle$ heisst reduzierbar, falls $G' = \langle \underline{Kno}, \underline{Kan}, s \rangle$ mit $\underline{Kan}' := \underline{Kan} \setminus \{(a, b) \mid (a, b) \text{ ist Rückwärtskante}\}$ azyklisch ist.

Beispiel 5.1.9:

G_1 und G_3 sind reduzierbar, G_2 nicht.

5.2 ud- und du-chains

Weitere Programminformation zur Bestimmung schleifeninvarianter Berechnungen

- use-definition-chain (ud-chain): Menge der Definitionen für die Benutzung einer Variablen
- definition-use-chain (du-chain): Menge der Benutzungen für die Definition einer Variablen

Definition 5.2.1:

Sei $\pi \in IC$, $v \in V_\pi$, $l, l_1, l_2 \in L_\pi$ und $p \in \underline{Pfad}_\pi(l_1, l_2)$

- v wird in l definiert: $(\text{def}(v, l)) : \leadsto \alpha_l = l : v \leftarrow e$
- v wird in l benutzt: $(\text{use}(v, l)) : \leadsto$ entweder $\alpha_e = l : v' \leftarrow e$ mit $v \in V_e$ oder $\alpha_e = l$: if be ... mit $v \in V_{be}$
- v wird auf p definiert: $\leadsto \leadsto \text{def}(v, l)$ für ein $l \in \underline{Kno}(p)$
- $\text{clear}(v, p) : \leadsto v$ wird nicht auf p definiert
- $\text{ud}(v, l) := \{l' \mid \text{use}(v, l), \text{def}(v, l'), \text{ es existiert } p \in \underline{Pfad}(l', l) : \text{clear}(v, p)\}$
- $\text{du}(v, l) := \{l' \mid l \in \text{ud}(v, l')\}$

Berechnung dieser Information durch Variante der Reading-Definition-Analyse (eigentlich RD-Analyse) DFA-System $\Delta = \langle G, \mathfrak{J} \rangle$ zu $\pi \in IC$.

G SI/vorwärts-Graph von π

$\mathfrak{J} = \langle \mathcal{D}, \varphi, d_s \rangle$

Analyseinformation für $l \in \underline{Kno} = l_\pi$: $RD_l = \{(v, l') \mid \text{def}(v, l') \text{ und } \exists p \in \underline{Pfad}(l', l) \text{ mit } \text{clear}(v, p)\}$

Es folgt: $l' \in \text{ud}(v, l) \leadsto \leadsto (v, l') \in RD_l$ und $\text{use}(v, l)$

Abstrakte Interpretation \mathfrak{J} :

5.3. SCHLEIFENINVARIANTE BERECHNUNGEN UND CODE MOTION 53

$D := P(V_\pi \times (L_\pi \cup \{0\}))$ 0 ist Definitionsmarke für $v \in IV$

$d'_s = \{(v, 0) | v \in IV\}$

$\varphi_\alpha : D \rightarrow D$

- $\alpha = i : v \leftarrow e$

$\varphi_\alpha(M) := M \setminus \{(v, l) | l \in L_\pi \cup \{0\}\} \cup \{(v, i)\}$

- andere α

$\varphi_\alpha = id_D$

φ_α distributiv, so dass $RD_l^{MFP} = RD_l^{MOP}$

[Folie: Beispiel: RD-Analyse und ud-chains]

5.3 Schleifeninvariante Berechnungen und Code Motion

$\pi \in IC$ mit SI/vorwärts-Graph $G_\pi = \langle \underline{Kno}, \underline{Kan}, s \rangle$ Schleife $S \subseteq \underline{Kno}$ mit Anfang $k \in S$

ud-chains für $(v, l) \in V_\pi \times L_\pi$

a) schleifeninvariante Berechnungen

Idee: Rechenausdrücke mit festem Wert in S vor Schleifeneintritt berechnen

Beachte: mögliche Propagation fester Werte innerhalb S

Definition 5.3.1:

$l \in S$ heisst s-invariant, wenn in $\alpha_l : x \leftarrow e$ oder $\alpha_l = l : \underline{\text{if be}} \dots$ Schleifenberechnung stets den selben Wert haben.

Bestimmung S-invarianter Knoten

Es gilt: $l \in S$ ist S-invariant, falls $\alpha_l = l : x \leftarrow e$ oder $\alpha_l = l : \underline{\text{if be goto}} l'$ und für alle $y \in V_l$ bzw. $y \in V_{be}$ gilt:

- $ud(y, l) \cap S = \emptyset$
- $ud(y, l) = \{l'\}$ und l' ist S-invariant

[19.01.2005]

Algorithmus (Analyse): induktive Markierung S-invarianter Knoten.

[Folie: Beispiel: Illegale Codeverschiebung (Bedingung 1)]

Algorithmus (Optimierung): Berechnung der Ausdrücke S-invarianter Knoten vor Schleifeneintritt auf temporären Variablen (SLC)

b) Code Motion

Verschiebung einer Wertzuweisung vor den Schleifenanfang.

Sei $l \in S$ S-invariant und $\alpha_e = l : x \leftarrow e$

Dann gilt: α_l kann direkt vor Schleifenanfang ausgeführt werden, falls :

[Folie: Bedingungen 2 und 3
für Codeverschiebung]

- (a) Für jeden Ausgangsknoten $k' \in S$, d.h. es existiert $k'' \notin S$ mit $(k', k'') \in \text{Kan}$ ("Ein Ausgangsknoten ist ein Knoten, der eine Stelle erreicht, die nicht in der Schleife liegt"), gilt:

$$\text{ldom}k'$$

- (b) Es gibt nur 1 Definition von x in S
- (c) Wird x in $l' \in S$ benutzt, so folgt: $ud(x, l') = \{l\}$
Analysealgorithmus:

- i. S-invariante Knoten
- ii. Eigenschaften 1-3 mit ud - und dom -Information prüfen

Opt: Ja

5.4 Induktionsvariablen

Induktionsvariablen: Variablen einer Schleife mit konstanter Wertprogression

- $i \leftarrow i + 1$ direkte Induktion
- $j \leftarrow 3 * i$ indirekte Induktion

2 Optimierungen:

- a) Strengthreduktion (Addition statt Multiplikation)
Bsp: $j \leftarrow j + 3$
- b) Elimination von Induktionsvariablen

Entstehung von Induktionsvariablen: z.B. Zählschleifen

Definition 5.4.1: Induktionsvariablen

Sei $\pi \in IC(\mathbb{Z}, +, *, <, >)$ und S eine Schleife im (SI/Vorwärts)-Flussgraphen von π

1. $x \leftarrow V_s$ heisst Basisinduktionsvariable ($x \in BN(S)$), falls gilt:
 - es existiert $i \in S$ mit $\alpha_i = i : x \leftarrow e$
 - für alle $i \in S$ mit $\alpha_i 0i : x \leftarrow e$ gilt: $e \in \{x + c, c + x | c \in \mathbb{Z}\}$
2. $y \in V_s$ heisst abhängige Induktionsvariable ($y \in AIV(S)$) falls gilt:
 - es existiert $i \in S$ mit $\alpha_i = i : y \leftarrow e$
 - für alle $i \in S$ mit $\alpha_i = i : y \leftarrow e$ gilt:
 $e \in \{x * x, x * c, c + x, x + c | c \in \mathbb{Z}, x \in BIV(S)\}$

Bemerkung: Vereallgemeinerung durch verschachtelte Abhängigkeiten

Folgerung 5.4.1:

Für eine Schleifenberechnung gilt: konstante Wertprogression von $x \in BN(S)$ überträgt sich mit einem Faktor auf die von x abhängigen $y \in AN(S)$

[Strength reduction für Induktionsvariablen] Beachte: verschiedene Definitionen mit unterschiedlichen Progressionen

a) "Strength reduction" für Induktionsvariablen

Idee: Ersetze Multiplikationen durch Additionen (Schleife!)

Sei $y \in AIV(S)$ und bei $i \in S$ eine Definition von y :

$\alpha_i = i : y \leftarrow e$ mit $V_e = \{x\}$, $x \in BN(S)$

Ist e ein Produkt, so ist dies wie folgt vermeidbar:

Wähle neue Variable t_i und füge hinter jeder Definition von x eine Definition von t_i ein. Diese ist bestimmt durch e und die Definition von x .

Falls $e = d * x$ und $x \leftarrow x + c$, so ist $t_i \leftarrow t_i + d * c$

Initialisierung von t_i vor Schleifenanfang: $t_i \leftarrow d * x$

b) Elimination von Induktionsvariablen

Sei $y \in AIV(S)$ mit genau einer Definition. $i : y \leftarrow d * x$, also $x \in PN(S)$

x werde nur benutzt in ihren Definitionen, in der Definition von y und in Bedingungen der Form if be goto ...

Dann kann x eliminiert werden:

(a) Transformation durch Strength reduction

(b) Simulation von x in be durch t_i

[Folie: Beispiel: Elimination von Induktionsvariablen]

[21.01.2005]

[Folie: ICP-Beispielprogramm: Fibonaccifunktion]

Kapitel 6

Interprozedurale Analyse

bisher: intra-prozedural (π als Prozedur-rumpf)

jetzt: Erweiterung von IC um rekursive Prozeduren

Probleme: Abhängigkeit zwischen Aufruf und Rücksprung, Parameterbehandlung

hier: keine geschachtelten Prozedurdeklarationen, nur Wert- und Ergebnisparameter

6.1 Syntax von ICP (Intermediate Code with Procedures)

$\pi = (Plist, Vlist, Alist) \in ICP$

$Plist = Pdecl_1, \dots, Pdecl_r$ Liste von Prozedurdeklarationen

$Pdecl_i = (pid_i, Vlist_i, Alist_i), i = 1, \dots, r$

pid_i : Prozedurbezeichner

$Vlist_i$; in x_1, \dots, x_{n_i} ; out y_1, \dots, y_m ; loc z_1, \dots, z_{p_i} Liste der formalen Parameter

$Alist_i$: Anweisungsliste

$Anw := Anw(IC) \cup \{pid_i(e_1, \dots, e_{n_i}, v_1, \dots, v_{m_i}) \mid e_j \text{ einfache Rechenausdrücke als aktuelle Parameter, } v_k \in V \text{ (paarweise verschieden), } i = 1, \dots, r\}$

Prozeduraufrufe

in $Alist_0$ und $Alist_1, \dots, Alist_r$

→ verschränkte Rekursion

Variablen müssen deklariert sein:

$V_{Alist_i} \subseteq V_{Vlist_i} (i = 0, \dots, r)$

6.2 Semantik in ICP

Eingabe als Wertparameter (call-by-value)

Jeder Prozeduraufruf mit eigenem Zustandsraum.

Werte der formalen Ausgabeparameter in aktuellen Ausgabeparameter übertragen

Laufzeitkeller mit Aufrufframes.

Fp-Semantik als Erweiterung der Fortsetzungssemantik von IC

6.3 MOP-Analyse für ICP-Programme

[Folie: Flussdiagramm von
 π_{fib}] Problem 1 Pfade von $\pi \in ICP$

- (a) Die reguläre Pfadmenge von G_{Fib} (naiver Ansatz)
 $G_{fib} \mapsto G_{fib}^{iter}$ entsteht aus G_{fib} durch Hinzunahme von Aufrufkanten:
 $(1, 3)$, $(4, 3)$, $(5, 3)$ und Rücksprungkanten $(7, 2)$, $(7, 5)$, $(7, 7)$
 Ferner: Weglassen der (auf der Folie gestrichelten) Kanten hinter Prozeduraufrufen $(1, 2)$, $(4, 5)$, $(5, 7)$
Pfad $[1, 2] \ni 13672, 136753672$
 Vorteil: DFA-Technik ist direkt übertragbar
 Nachteil: zu viele Pfade, Bedingungen für Analyse zu scharf
 Grund: keine Bindung zu Rücksprung und Aufruf
- (b) Die kontextfreie Pfadmenge von G_{fib} :

$$\begin{aligned}
 G &= \langle N, \Sigma, P, S \rangle \\
 \Sigma &= \{1, 2, \dots, 7\} \\
 N &= \{P[1, 2], P[2, 2], P[3, 7], P[4, 7], \dots, P[7, 7]\} \\
 P : P[1, 2] &\rightarrow 1P[3, 7]P[2, 2] \\
 &P[2, 2] \rightarrow 2 \\
 &P[3, 7] \rightarrow 3P[4, 7]3P[6, 7] \\
 &P[4, 7] \rightarrow 4P[3, 7]P[5, 7] \\
 &P[5, 7] \rightarrow 5P[3, 7]P[7, 7] \\
 &P[6, 7] \rightarrow 6P[7, 7] \\
 &P[1, 2]136753672
 \end{aligned}$$

$$\rightarrow \underline{\text{RPFad}}[s, k)$$

Problem 2 Knotentransformationen für Aufruf- und Rücksprungknoten

Abstrakte Interpretation von G_π

$\mathcal{D} = \langle D; \leq \rangle$ vollständiger Verband mit ACC

$d_s \in D$ Startinformation (Hauptprogramm)

Knotentransformationen:

- (a) Bei Zuweisungs- und Verzweigungsknoten wie bekannt aus IC: $\varphi_{ij} : D \rightarrow D$
- (b) Bei Stop- und Goto-Knoten $\varphi_{ij} = id_D$

(c) Bei Aufruf und Rücksprung?

Idee: Pfadberechnung mit Kellerspeicher (analog Laufzeitkeller)

Beachte: Rücksprungadressen unnötig, da Pfad vorgegeben

$Stack_D := D^+$ (leerer Keller unnötig) Spitze rechts

$\varphi_{ij} : D \rightarrow D$ für Aufrufknoten ij zur Berechnung der Startinformation für den Aufruf aus oberstem Kellerelement

$\varphi_{i(q_i+1)} : D \times D \rightarrow D$ für den Rücksprungknoten zur Berechnung der Information beim Rücksprung, bestimmt durch Information von Aufruf und bei Aufrufende (die beiden obersten Kellereinträge)

Jedes φ_{ij} bestimmt eine Stacktransformation $\varphi_{ij} : \underline{\text{Kno}} \rightarrow \{f | fstack_D \rightarrow Stack_D\}$

[26.01.2005]

für Fall (1): $\varphi_{ij}^{st}(wd) := w\varphi_{ij}(d)$

für Fall (2): $\varphi_{ij}^{st}(wd) := wd\varphi_{ij}(d)$ ("PUSH")

für Fall (3): $\varphi_{k(q_k+1)}^{st}(wdd') := w\varphi_{ij}(d)$

[Folie: Flussgraph von π – fib]

Für $k \in \underline{\text{Kno}} \setminus \{s\}$ ($s = 01$) und $p = (k_1, \dots, k_q) \in \underline{\text{RPfad}}[s, k]$ definieren wir die Analyseinformation für k bezüglich p

$AI \langle p \rangle := \text{top}(\varphi_{k_q}(\dots \varphi_{k_1}(d_1) \dots)) \in D$ mit $\text{top} : Stack_D \rightarrow D$ ($wd \mapsto d$)

Die MOP-Lösung für k

- $AI_s^{MOP} := d_s$
- $AI_k^{MOP} := \bigsqcup \{AI \langle p \rangle \mid p \in \underline{\text{RPfad}}[s, k]\}$

6.4 MFP-Analyse für ICP-Programme

$\pi = (\text{Plist}, \text{Vlist}_0, \text{Alist}_0) \in \text{ICP}$ bestimmt die Flussgraphen G_0, \dots, G_r und den daraus kombinierten Flussgraphen G_π

Unterschiedliche Kantenstruktur: $\alpha_{ij} = \text{pid}_k(\dots)$:

1. $(ij, i(j+1)) \in \underline{\text{Kan}}(G_i)$
2. $(ij, k1), (k(q_k+1), i(j+1)) \in \underline{\text{Kan}}(G_\pi)$

MFP-Lösung für iterative Flussgraphen:

$$E \begin{cases} AI_s = d_s \\ AI_k = \bigsqcup_{l \in \underline{\text{Var}}(k)} \varphi_l(AI_l) \end{cases}$$

Übertragung auf den rekursiven Fall

Betrachtung von G_0, \dots, G_r statt G_π

Grund: Gleichungen aus E beschreiben lokale Zusammenhänge

Aufrufknoten ij mit $\alpha_{ij} = \text{pid}_k(\dots)$:

volle Transformationen $\Phi_k : D \rightarrow D$ und G_k verwenden

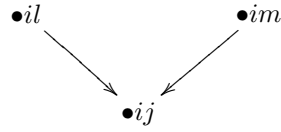
Neben den Gleichungen für die Analyseinformationen zusätzliche Gleichungen für die Φ_k ($k = 1, \dots, r$)

Dazu. duale Sicht zur Berechnung der Φ_k
 $ij \mapsto$ nicht die von dort bis $i(q_i + 1)$, sondern die von il bis ij bestimmte Transformation.

[Grafik]

- $il \Phi_{ij}$
- ij
- $i(q_i + 1)$

[/Grafik]



$$\Phi_{ij}(d) = \tilde{\varphi}_{il}(\Phi_{il}(a)) \sqcup \tilde{\varphi}_{im}(\Phi_{im}(a))$$

$\tilde{\varphi}_{il}, \tilde{\varphi}_{im}$ lokale Anweisungstransformationen

$\tilde{\varphi}_{il} := \varphi_{il}$ für "iterative" Knoten (Anweisung, Verzweigung, Sprung)

il Aufrufknoten mit $\alpha_{il} = pid_R(\dots)$

[Grafik] [/Grafik]

$$\tilde{\varphi}_{il}(d) := \varphi_{k(q_k+1)}(d, \Phi_k(\varphi_{il}(d)))$$

→ rekursive Funktionssysteme zur Bestimmung der Transformationen

Φ_1, \dots, Φ_r

$$F_i(X) = F_{i(q_i+q)}(X)$$

$$F_{i1}(X) = X$$

$$F_{ij}(X) = \bigsqcup_{il \in \underline{\text{Var}}(ij) \text{ in } G_i} \tilde{\varphi}_{il}(F_{il}(X))$$

$$\text{wobei } \tilde{\varphi}_{il}(X) = \begin{cases} \varphi_{il}(X) & \text{bei "iter. Knoten"} \\ \varphi_{k(q_k+1)}(X, F_k(\varphi_{il}(X))) & \end{cases}$$

Die eigentlichen Gleichungssysteme E_0, \dots, E_r zur Berechnung der Analyseinformation AI_{ij} :

$$AI_{01} = d_s$$

$$AI_{i1} = \bigsqcup_{kj \text{ mit } a_{k,j} = pid_i()} \varphi_{ka}(AI_{kj})$$

$$AI_{ij} = \bigsqcup_{il \in \underline{\text{Var}}(ij) \text{ in } G_i} \tilde{\varphi}_{il}(AI_{il})$$

$$A_\pi := \bigcup_{i=0}^r E_i \cup \bigcup_{i=1}^r FE_i$$

Fp-Technik bestimmt die MFP-LKösung

$$AI^{MFP} := (AI_{ij}^{MFP} \mid i = 0, \dots, r, j = 1, \dots, q_i)$$

Satz 6.4.1: Knoop, Steffen

a) Korrektheit $AI_{ij}^{MOP} \leq AI_{ij}^{MFP}$

b) Vollständigkeit $AI_{ij}^{MOP} = AI_{ij}^{MFP}$ falls alle φ_{ij} distributiv

Kapitel 7

Analyse dynamischer Datenstrukturen

Bisher: statische Datenstrukturen (Programmvariablen $\hat{=}$ Speicherzellen)

Jetzt: Zeiger(-variablen), dynamische Speicherverwaltung im Heap

Ziel: Shape-Analyse = approximative Analyse der Datenstrukturen im Heap

Gewonnene Informationen:

- Datentypen (\rightarrow Vermeidung von Typfehlern, z.B. Dereferenzierung von nil-Zeigern)
- Sharing (Zeigervariablen mit gleichem Adressinhalt \rightarrow Aliasing Effekte)
- Erreichbarkeit (\rightarrow Garbage Collection)
- Disjunkte Heapbereiche (\rightarrow Parallelisierung)
- Shape (Listen, Bäume, Zyklfreiheit etc.)

Literatur: [Nielson, Nielson, Hankin99, Set 2.6]

7.1 Erweiterung der Sprache IC

Strukturierte Heapzellen (Werte oder Zeiger)

Zugriff über Selektoren: $sel \in \underline{\text{Sel}}$

Zeigerausdrücke:

$p \in \underline{\text{PExp}} = V \cup \{x.sel \mid x \in V, sel \in \underline{\text{Sel}}\}$

Wertzuweisungen:

$p \leftarrow e$ mit $p \in \underline{\text{PExp}}$ und $e \in \dots \cup \underline{\text{PExp}} \cup \underline{\text{nil}}$

Allokierungsanweisungen:

$\text{malloc } p$ mit $p \in \underline{\text{PExp}}$ (Sprunganweisungen, Markierungen wie gehabt)

Beispiel 7.1.1:

in x; out y; loc z;

1. $y \leftarrow \underline{\text{nil}} ;$
2. $\underline{\text{if}} \ x = \underline{\text{nil}} \ \underline{\text{goto}} \ 8;$
3. $z \leftarrow y;$
4. $y \leftarrow x;$
5. $x \leftarrow x.\text{next};$
6. $y.\text{next} \leftarrow z;$
7. $\underline{\text{tgoto}}2;$
8. $z \leftarrow \underline{\text{nil}} ;$

Operationelle Semantik: siehe [NNH99, Set 2.6.1]

Beispiel: siehe Folien 7.1 - 7.3

7.2 Shape-Graphen

Ziel: Abstraktion des (unbeschränkten) Heaps durch eine endliche Datenstruktur

Definition 7.2.1:

Ein Shape-Graph $G = (S, H)$ besteht aus einer Menge $S \subseteq \underline{\text{Aloc}}$ abstrakter Adressen und einem abstrakten Heap $H \subseteq S \times \text{Sel} \times S$ (Notation: $X^{\text{Sel}}y$ für $(X, \text{sel}, Y) \in H$)

Hierbei sein $\underline{\text{Aloc}} := p(V)$

Bemerkung: [Interpretation von $G = (S, H)$]

- Für $X \in S$ bedeutet $x, y \in X$, dass die Variablen x und y auf die gleiche Heapadresse verweisen. Somit repräsentiert \emptyset alle Heapadressen, die nicht direkt durch Variablen dereferenziert werden.
- Verweisen $x \in \text{sel}$ und y auf die gleichen Heapadresse ($x, y \in V, \text{sel} \in \underline{\text{Sel}}$) und sind $X, Y \in S$ mit $x \in X$ und $y \in Y$, so gilt $X \xrightarrow{\text{sel}} Y$ in H

Beispiel 7.2.2: Folien 7.1 - 7.3

(beachte: Shape-Graph a (für x) $\hat{=}$ Shape-Graph e (für y) \rightarrow Ein-/Ausgabe strukturell "ähnlich")

Obiger Interpretation entsprechend sollte jeder Shape-Graph $G = (S, H)$ den folgenden Invarianten genügen:

1. Disjunktheit: $X, Y \in S \rightarrow X = Y$ oder $X \cap Y = \emptyset$
(d.h. eine Variable kann nur auf eine (abstrakte) Heapadresse verweisen)

2. Determiniertheit: $X \xrightarrow{sel} Y$ und $X \xrightarrow{sel} Z$ in $H \rightarrow X = \emptyset$ oder $Y = Z$ (d.h. die über einen Selektor referenzierte Heapadresse ist eindeutig, wenn die Ausgangsadresse nicht \emptyset ist)

Bemerkung: Das folgende Beispiel zeigt, dass in (2) im Fall $X = \emptyset$ Determiniertheit im allgemeinen nicht vorliegt:

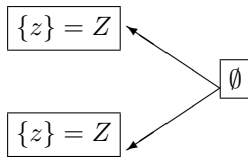
Beispiel 7.2.3:

Konkret

$$y \rightarrow \circ \xleftarrow{sel} \circ$$

$$z \rightarrow \circ \xleftarrow{sel} \circ$$

Abstrakt:



Definition 7.2.4:

Ein Shape-Graph mit (1) und (2) heisst kompatibel. Die Menge aller kompatiblen Shape-Graphen wird mit SG bezeichnet.

Bemerkung: IN [NNH99] besitzen Shape-Graphen eine weitere Komponente, die sogenannte Sharing-Information.

7.3 Die Analyse

Ansatz: Vorwärtsanalyse zur Bestimmung aller Shape-Graphen, die die mögliche Heapstruktur im entsprechenden Programmpunkt abstrahieren.

Vollständiger Verband: $\mathcal{D} = \langle p(SG), S \rangle$

Klar:

V, Sel endlich

→ SG endlich

→ p(SG) endlich

→ ACC-Eigenschaft

Abstrakte Interpretation: $\mathcal{I} = \langle D, \varphi, d_s \rangle$

Startinformationen: $d_s =$ Menge aller Shape-Graphen zu den möglichen Anfangswerten aller $x \in IV$

Beispiel 7.3.1: Listenspiegelung

$$IV = \{x\}, x \text{ (endliche) Liste} \rightarrow d_s = \underbrace{\{(\emptyset, \emptyset)\}}_{\text{leere}} \underbrace{\{\{x\}\}}_{\text{ein El.}}, \underbrace{\{\{x\} \xrightarrow{next} \emptyset\}}_{\text{zwei El.}}, \underbrace{\{\{x\} \xrightarrow{next} \emptyset \circ next\}}_{\geq \text{drei El. Eingabeliste}}$$

Transferfunktion: $\varphi_\alpha : p(SG) \rightarrow p(SG)$ (monoton) für $\alpha \in \underline{\text{Anw}}$

[02.02.2005]

Diese transformieren jeden einzelnen Shape-graphen in eine Menge solcher Graphen, d.h. $\varphi_\alpha(\{G_1, \dots, G_n\}) = \cup_{i=1}^n \Psi_\alpha(G_i)$ wobei $\Psi_\alpha : SG \rightarrow p(SG)$ durch Fallunterscheidung bezgl. α definiert ist.

- a) $\alpha = \underline{\text{goto}}\ l / \underline{\text{if}}\ p(u_1, \dots, u_r)\ \underline{\text{goto}}\ l/x \leftarrow x$
Keine Modifikation des Heaps $\rightarrow \Psi_\alpha(G) = \{G\}$
- b) $\alpha = x \leftarrow c/x \leftarrow f(u_1, \dots, u_r)/x \leftarrow \underline{\text{nil}}$
evtl Verweise von x auf den Heap werden aufgehoben $\rightarrow \Psi_\alpha(b) = \{\text{kill}_x(G)\}$
Wobei $\text{kill}_x(S, H) = (S', H')$
mit $S' = \{X \setminus \{x\} \mid X \in S\}$
und $H' = \{(X \setminus \{x\}, \text{sel}, Y \setminus \{x\}) \mid (X, \text{sel}Y) \in H\}$
Bsp Folie 7.3, Schritt $d \rightarrow e$ ($\alpha = z \leftarrow \underline{\text{nil}}$)

- c) $\alpha = x \leftarrow y$ (mit $x \neq y$)

Effekt:

- (a) Aufhebung der Bindung von x
(b) Weitergabe evtl. Bindungen von y an x
 $\rightarrow \Psi_\alpha(G) = \{\text{gen}_x^y(\text{kill}_x(G))\}$
wobei $\text{gen}_x^y(S, H) = (S', H')$
mit $S' = \{H' = \{(g_x^y(X), \text{sel}, g_x^y(Y)) \mid (X, \text{sel}, Y) \in H\}$
für

$$g_x^y = \begin{cases} X \cup \{x\}, & \text{falls } y \in X \\ X, & \text{sonst} \end{cases}$$

Bsp Folie 7.1/7.2, Schritt $a3 \rightarrow a4$ ($\alpha = y \leftarrow x$)

- d) $\alpha = x \leftarrow x.\text{sel}$:

wird ersetzt durch die (äquivalente) Anweisungsfolge

$$t \leftarrow x.\text{sel}; x \leftarrow t; t \leftarrow \underline{\text{nil}} \quad (t \in LV \text{ neu})$$

$$\rightarrow \varphi_\alpha = \varphi_{t \leftarrow \underline{\text{nil}}} \circ \varphi_{x \leftarrow t} \circ \varphi_{t \leftarrow x.\text{sel}}$$

- e) $x \leftarrow y.\text{sel}$ ($x \neq y$):

Sei zunächst $(S', H') = \text{kill}_x(G)$

Mögliche Fälle:

- (a) $y \notin X$ für alle $X \in S'$ oder
 $y \in Y$ für ein $Y \in S'$, aber es existiert kein $Z \in S'$ mit $Y \xrightarrow{\text{sel}} Z$ (d.h. y oder y.sel ist eine Zahl, nil, oder undefiniert)
- (b) es existiert $Y, Z \in S'$ mit $y \in Y, Z \neq \emptyset$ und $Y \xrightarrow{\text{sel}} Z$
(d.h. die Adresse y.sel wird auch durch andere Variablen referenziert)

- (c) es existiert $y \in S'$ mit $y \in Y$ und $Y \xrightarrow{sel} \emptyset$
 (d.h. keine andere Variable verweist auf die gleiche Adresse wie $y.sel$)

Entsprechende Modifikation des Shape-Graphen:

1. Nur x entfernen:

$$\Psi_\alpha(G) = \{(S', H')\}$$

2. In z einen x -Verweis ergänzen

$$\Psi_\alpha(G) = \{(S'', H'')\}$$

$$\text{mit } S'' = \{h_x^z(X) \mid X \in S'\}$$

$$\text{und } H'' = \{h_x^z(X), sel, h_x^z(Y) \mid (X, sel, Y) \in H'\}$$

$$\text{für } h_x^z(X) = \begin{cases} Z \cup \{x\}, & \text{falls } X = Z \\ X, & \text{sonst} \end{cases}$$

3. Abstrakte Adresse für x einführen und alle möglichen Heapstrukturen berücksichtigen.

$$\Psi_\alpha(G) = \{(S'', H'') \in SG \mid kill_x(S'', H'') = (S', H'), \{x\} \in S'', (y, sel, \{x\}) \in H''\}$$

Bsp (Fall 3) Folie 7.4

Bem: Das Eintreten von Fall 1 bedeutet, dass im konkreten Programm möglicherweise ein nil-Zeiger dereferenziert wird

4. $\alpha = x.sel \leftarrow x/x.sel \leftarrow f(u_1, \dots, u_r)/x.sel \leftarrow \underline{nil}$: ähnlich zu (e) (Fallunterscheidung bzgl. $x/x.sel$)

5. $\alpha = x.sel \leftarrow y$:

Bsp Folie 7.2, Schritt $a5 \rightarrow b$ ($\alpha = x.next \leftarrow z$)

6. $\alpha = x.sel \leftarrow y.sel'$:

wird ersetzt durch $t \leftarrow y.sel', x.sel; x.sel \leftarrow t; t \leftarrow \underline{nil}$

7. $\alpha = \underline{malloc}x$:

$$\Psi_\alpha(S, H) = (S' \cup \{x\}) \text{ für } (S', H') = kill_x(S, H)$$

8. $\alpha = \underline{malloc}x.sel$:

wird ersetzt durch $\underline{malloc}t; x.sel \leftarrow t; t \leftarrow \underline{nil}$